



جامعة بوليتكنك فلسطين

كلية الهندسة والتكنولوجيا

دائرة الهندسة المدنية والمعمارية

الخليل - فلسطين

مشروع التخرج

التصميم الإنثائي لـ "مدرسة يطا النموذجية للتميز" في مدينه يطا.

فريق العمل

أحمد جبرين نصار عبد الرحمن راضي

عبد الرحمن نواورة محمد كايد ابو عرام

إشراف :

م. سفيان الترك .

2017م



جامعة بوليتكنك فلسطين

كلية الهندسة والتكنولوجيا

دائرة الهندسة المدنية والمعمارية

الخليل - فلسطين

التصميم الإنثائي لـ "مدرسة يطا النموذجية للتميز " في مدينة يطا.

فريق العمل

عبد الرحمن راضي

أحمد جبرين نصار

محمد كايد ابو عرام

عبد الرحمن نواورة

بناء على توجيهات الأستاذ المشرف على المشروع وبموافقة جميع أعضاء اللجنة المختصة، تم تقديم هذا المشروع إلى دائرة الهندسة المدنية والمعمارية في كلية الهندسة والتكنولوجيا للوفاء بمتطلبات الدائرة لدرجة البكالوريوس.

توقيع رئيس الدائرة

توقيع مشرف المشروع

م. فيضي شبانة

م. سفيان الترك

2017 م

إله———داء

إلى الشموع التي استطاعت قهر الظلام بفوه إرادة نورهما... الذين كلما مر الوقت أكثر

نفهم كم هو صعب أن نحاول سداد ديوننا لهم... خاصة عندما يكون "الثبات"

على ما نؤمن به... هو من بعض غرسهم

أمهاتنا وآبائنا أadam الله نورهم..

إلى العلم، والتربيـة، والوقار، والإخلاص، والتواضع

أساتذتنا الكرام..

إلى دعائم قوتنا وطموحنا... بـلـسـم عـلـتـنا وجـروـحـنا

إخوانـا وـأخـواتـنا ..

إلى كل الأوفياء المخلصين الذين جعلوا من الوفاء شمعة تنير دربـهـم

إلى من يجسـدوا الـوفـاء في أـرـقـى صـورـه

أـصـدـقـائـنا وـرـفـقـاء درـبـنا ..

وـإـلـى كلـ منـ أـخـذـ وـيـأـخـذـ بـأـيـدـيـنـا إـلـى قـمـةـ المـجـدـ

نـهـديـ هـذـاـ المـشـرـوـعـ ..

فريق العمل

شـكـرـوـتـة دـيـر

ليس هناك شكر أعظم من الاعتراف بالجميل، وليس هناك مشكور أعظم من صاحب الفضل الذي لا ينقطع فضله ولا تحصر نعمه، فحمدًا لله حمدًا لا ينتهي عند حد ولا ينقطع عند أجل.

وفي هذا المقام لا يسعنا إلا أن نتقدم بجزيل شكرنا، وعظيم امتنانا وتقديرنا وعرفاننا ؛ إلى كل من ساهم في إنجاز بحثنا هذا، متحدين معنا كل الصعاب فلهم جميعاً الشكر والتقدير كله.

ونخص بشكرنا وتقديرنا أستاذنا الفاضل المهندس سفيان الترك المشرف والموجه والمعلم، الذي لم يتتوان، ولم يتأخر عن تقديم ما آتاه الله من علم وحلم لنا، ونشكر طاقم دائرة الهندسة المدنية والمعمارية كل بمكانه الذين كرسوا وقتهم وجهدهم لمساعدة زملائنا طوال سنوات الدراسة.

كما نتقدم بشكرنا إلى زملائنا وزميلاتنا الأعزاء الذين لولا وجودهم لما أحسينا بمحنة البحث ، ولا حلاوة المنافسة الإيجابية.

وختام القول مسك، فالشكر كل الشكر إلى أبائنا وأمهاتنا وإخواننا الذين كان لهم الدور الأكبر في الوصول إلى ما وصلنا إليه، ولعلنا نوفيهم حقهم ببلغنا رضاهم جميعاً.

فريق العمل

ملخص المشروع

التصميم الإنساني لـ " مدرسة يطا النموذجية للتميز " في مدينة يطا.

فريق العمل

عبد الرحمن راضي	أحمد جبرين نصار
محمد كايد ابو عرام	عبد الرحمن نواورة
إشراف :	
م. سفيان الترك .	

التصميم الإنساني هو أهم التصميمات الالزمه للمبنى بعد التصميم المعماري، فتوزيع الأعمدة والأحمال والحفاظ على المتنانة وبأفضل الأسعار وأعلى درجات الأمان يقع على عاتق المصمم الإنساني.

في هذا المشروع سنقوم بعمل تصميم إنساني "للمبنى مدرسة يطا النموذجية للتميز" ، حيث تتكون من أربعة طوابق ومرافقها (ملعب وساحة و موقف سيارات وغرفة حراسة) بالإضافة إلى خزان ماء حيث تبلغ مساحته الإجمالية 6000 م² تقريبا . حيث صمم المشروع على الطراز الحديث والمعاصر ، لكي يلبي جميع المتطلبات التعليمية والترفيهية في مدرسة نموذجية مع مراعاة واحترام طبيعة الأرض الطبوغرافية في التصميم ، وتم اختيار هذا المشروع لندرة مثل هذا النوع من المدارس والتي من الجيد توفرها في مجتمعاتنا .

ومن الجدير بالذكر انه سيتم استخدام الكود الأردني لتحديد الأحمال الحية، ولتحديد أحصال الزلازل، أما بالنسبة للتحليل الإنساني وتصميم المقااطع فسيتم استخدام الكود الأمريكي (ACI_14_318)، ولا بد من الإشارة إلى انه سيتم الاعتماد على بعض برامج الحاسوب مثل : Autocad2007 ,Atir, Safe ,Etabs , Staadpro ,Sab 2000

وسينتضم المشروع دراسة إنسانية تفصيلية من تحديد وتحليل للعناصر الإنسانية والأحمال المختلفة المتوقعة ومن ثم التصميم الإنساني للعناصر وإعداد المخططات التنفيذية بناء على التصميم المعد لجميع العناصر الإنسانية التي تكون الهياكل الإنسانية للمبنى ، ومن المتوقع بعد إتمام المشروع أن تكون قادرین على تقديم التصميم الإنساني لجميع العناصر الإنسانية بإذن الله وتوفيقه .

والله ولي التوفيق.

Structural Design For The Idealistic Yatta School For Distinguishing

Prepared by

Ahmad Jebreen Nassar

Abdel Rahman Nawawra

Abdel Rahman Radi

Mohammad Kayed Abu Aram

Supervisor

Eng .Sufian Al-Turk

Abstract

Structural design is the most important designs required for building architectural design, distribution columns and loads and maintaining durability and best price and highest security rests with the structural Designer.

In this project we will work a construction design "**For The Idealistic Yatta School For Distinguishing**", consisting of four floors and facilities (Stadium and arena parking, guarded room) plus water tank with total area 6000 m2.

The project is designed in a modern style and contemporary, to meet all educational and recreational requirements in pilot schools taking into account and respecting the nature of the Earth's topographic in design, this project was selected for the scarcity of such schools and the good in our communities.

It is worth mentioning that the code will be used to determine the live loads and seismic loads for structural analysis and design sections of the us code is used (ACI_318_14), and there must be some software such as:

Autocad2007 ,Atir, Safe ,Etabs , Staadpro ,Sab 2000.

The project will include the construction of detailed study for the identification and analysis of structural elements and different loads expected and then design elements and prepare drawings based design intended for all structural elements that are building structures, expected after completion of the project should be able to provide structural design of all structural elements by God's grace.

فهرس المحتويات

رقم الصفحة	الموضوع
I	تقرير مقدمة المشروع
II	تقييم مقدمة مشروع التخرج
III	الإهداء
IV	الشكر والتقدير
V	الملخص باللغة العربية
VI	الملخص باللغة الانجليزية
VIII	فهرس المحتويات
XI	List of abbreviation
XIII	فهرس الجداول
XIV	فهرس الأشكال
XV	List of Figures
1	الفصل الأول : المقدمة
2	1-1 المقدمة
2	2-1 أهداف المشروع
2	3-1 مشكلة المشروع
2	4-1 المسلمات
3	5-1 فصول المشروع
3	6-1 الجدول الزمني للمشروع
4	الفصل الثاني : الوصف المعماري
5	1-2 مقدمة
5	2-2 لمحه عامة عن المشروع
6	3-2 موقع المشروع
7	1-3-2 أهمية الموقع
7	2-3-2 حركة الشمس والرياح
7	3-3-2 الرطوبة
8	4-2 وصف طوابق المشروع
8	1-4-2 طابق التسوية
9	2-4-2 الطابق الأرضي
10	3-4-2 الطابق الأول
11	4-4-2 الطابق الثاني
12	5-4-2 المسرح
13	5-2 الواجهات
14	1-5-2 الواجهة الشرقية
14	2-5-2 الواجهة الغربية
15	3-5-2 الواجهة الشمالية
16	4-5-2 الواجهة الجنوبية
16	6-2 وصف الحركة والمداخل
16	7-2 المدخل

20	الفصل الثالث : الوصف الإنساني
21	1-3 مقدمة
21	2-3 هدف من التصميم الإنساني
21	3-3 مراحل التصميم الإنساني
22	4-3 الأحمال
22	1-4-3 الأحمال المبنية
22	2-4-3 الأحمال الحية
23	3-4-3 الأحمال البيئية
23	1-3-4-3 أحمال الرياح
25	2-3-4-3 أحمال الثلوج
25	3-3-4-3 أحمال الزلازل
26	5-3 الاختارات العملية
26	6-3 العناصر الإنسانية المكونة للمبنى
26	1-6-3 العقدات
26	1-1-6-3 عقدات العصب ذات الاتجاه الواحد
27	2-1-6-3 عقدات المصنمة ذات الاتجاه الواحد
28	2-6-3 الأدراج
29	3-6-3 الجسور
30	4-6-3 الأعمدة
31	5-6-3 جدران القص
32	6-6-3 الأساسات
33	7-3 فوائل التمدد
34	8-3 برامج الحاسوب
80	الفصل الخامس : النتائج و التوصيات
81	1-5 المقدمة
81	2-5 النتائج
82	3-5 التوصيات

<u>Subject</u>	<u>Page</u>
Chapter 4 : Structural Analysis and Design	36
4-1 Introduction	37
4-2 Design method and requirements.	37
4-3 CHECK OF Minimum Thickness Of Structural Members.	39
4-4 Design of Topping and Rib (R2).	40
4-5 Design of Beam (B2).	
4-6 Design of Column (C35).	
4-7 Design of Isolated Footing.	
4-8 Design of Stair.	
4-9 Design of Shear wall.	
4-10 Design of Basement wall.	

List of Abbreviations

- **A_c** = area of concrete section resisting shear transfer.
- **A_s** = area of non-prestressed tension reinforcement.
- **A_{s̄}** = area of non-prestressed compression reinforcement.
- **A_g** = gross area of section.
- **A_v** = area of shear reinforcement within a distance (S).
- **A_t** = area of one leg of a closed stirrup resisting tension within a (S).
- **b** = width of compression face of member.
- **b_w** = web width, or diameter of circular section.
- **C_c**= compression resultant of concrete section.
- **C_s**= compression resultant of compression steel.
- **DL** = dead loads.
- **d** = distance from extreme compression fiber to centroid of tension reinforcement.
- **E_c** = modulus of elasticity of concrete.
- **f_{c̄}**= compression strength of concrete .
- **f_y** = specified yield strength of non-prestressed reinforcement.
- **h** = overall thickness of member.

- **L_n** = length of clear span in long direction of two-way construction, measured face-to-face of supports in slabs without beams and face to face of beam or other supports in other cases.
- **LL** = live loads.
- **L_w** = length of wall.
- **M** = bending moment.
- **M_u** = factored moment at section.
- **M_n** = nominal moment.
- **P_n** = nominal axial load.
- **P_u** = factored axial load
- **S** = Spacing of shear in direction parallel to longitudinal reinforcement.
- **V_c** = nominal shear strength provided by concrete.
- **V_n** = nominal shear stress.
- **V_s** = nominal shear strength provided by shear reinforcement.
- **V_u** = factored shear force at section.
- **W_c** = weight of concrete.
- **W** = width of beam or rib.
- **W_u** = factored load per unit area.
- **Φ** = strength reduction factor.
- **ε_c** = compression strain of concrete = 0.003.
- **ε_s** = strain of tension steel.
- **ε̇_s** = strain of compression steel.
- **p** = ratio of steel area .

فهرس الجداول

<u>رقم الصفحة</u>	<u>الجدول</u>	<u>رقم الجدول</u>
3	الجدول الزمني للمشروع خلال السنة الدراسية (2016/2015)	1-1
22	الكثافة النوعية للمواد المستخدمة	1-3
22	الأحمال الحية لعناصر المبني	2-3
23	سرعة وضغط الرياح اعتمادا على الكود الألماني	3-3
25	أحمال التلوّح حسب الارتفاع عن سطح البحر	4-3
40	Topping Dead load calculation	4-1
41	Dead load calculation of (R2)	4-2
65	Dead load calculation of stair	4-3

فهرس الأشكال

<u>رقم الصفحة</u>	<u>الشكل</u>	<u>رقم الشكل</u>
6	خارطة الموقع الجغرافي	1-2
8	مسقط طابق الأرضي	2-2
9	المسقط الأفقي للطابق الأول	3-2
10	المسقط الأفقي للطابق الثاني	4-2
11	المسقط الأفقي للطابق الثالث	5-2
12	المسقط الأفقي للمسرح	6-2
13	الواجهة الجنوبية	7-2
13	الواجهة الجنوبية ثلاثة الابعاد	8-2
14	الواجهة الغربية	9-2
14	الواجهة الشمالية	10-2
15	الواجهة الشرقية	11-2
16	لقطة ثلاثة الابعاد	12-2
24	تأثير الرياح على المبني من حيث ارتفاع المبني والبيئة المحيطة به	1-3
26	العقدات ذات العصب الواحد	2-3
27	العقدات المصمتة ذات الاتجاه الواحد	3-3
28	الدرج	4-3
29	أنواع الجسور المستخدمة في المشروع	5-3
30	أنواع الأعمدة	6-3
31	جدار قص	7-3
32	أساس مفرد	8-3
33	فواصل التمدد	9-3

List of Figures

<u>Figure #</u>	<u>Description</u>	<u>Page</u>
4-1	One way Rib slab	39
4-2	Topping load	40
4-3	Rib2 Geometry	42
4-4	Load For Rib2	43
4-5	Moment & Shear Envelope of Rib2	43
4-6	Factored & Service Load From Rib2	44
4-7	Beam2 Geometry	49
4-8	Load For Beam2	49
4-9	Factored & Service Load From Rib1	50
4-10	Factored & Service Load From Rib2	50
4-11	Factored & Service Load From Rib3	51
4-12	Moment & Shear Envelope of Beam2	52
4-13	Column dimension	55
4-14	Stair	64
4-15	Structural system of flight	66
4-16	Moment & Shear Envelope of flight	67
4-17	Structural system of landing	69
4-18	Moment & Shear Envelope of landing	70
4-19	Moment & Shear of shear wall	73
4-20	Basement wall	76
4-21	Load for basement wall	76
4-22	Moment & Shear Envelope of basement wall	77

1

الفصل الأول

المقدمة

. 1-1 مقدمة .

2-1 أهداف المشروع.

3-1 مشكلة المشروع.

. 4-1 المسلمات .

5-1 فصول المشروع.

6-1 الجدول الزمني.

1-1 مقدمة :

لقد شهد القرن الماضي تقدم وتطور في كافة مناحي الحياة وصاحب هذا التطور زيادة ملحوظة في أعداد السكان و بالتالي زيادة في احتياجهم إلى المساكن و الخدمات مما اوجد حاجة اجتماعية و اقتصادية الى المباني السكنية .

2-1 أهداف المشروع :

نقسم أهداف المشروع إلى الأهداف المعمارية والأهداف الإنسانية.

1-2-1 أهداف المشروع المعمارية :

الهدف الرئيسي المعماري هو القدرة على فهم المخططات المعمارية بشكل الصحيح.

1-2-1 أهداف المشروع الإنسانية :

- تعزيز القدرة على اختيار النظام الإنساني المناسب والمتوافق مع أهداف المبنى .
- ربط ما تم تعلمه بمساقات التصميم الإنساني بالجانب العملي والتصميمي في المشروع
- اكتساب مهارات و خبرات جديدة في مواجهة المشاكل والعقبات التي لم يتم التطرق لها في الجانب الأكاديمي النظري من دراستنا الجامعية .

3-1 مشكلة المشروع :

تكمن مشكلة المشروع في إيجاد انساب نظام إنسائي يحقق متطلبات المثانة و الخدمانية ، بالإضافة إلى تحليل و تصميم كافة العناصر الإنسانية المكونة للمشروع مثل العقدات و الجسور و الأعمدة والأساسات ... الخ ، بعد تحديد الأحمال لكل عنصر إنساني يمكننا تحديد الأبعاد المطلوبة لذلك العنصر بالإضافة إلى التسليح المطلوب ، بعد ذلك سيتم عرض النتائج على شكل مخططات و رسومات إنسانية للانتقال من مرحلة التصميم النظري إلى التطبيق العملي في الموقع .

4-1 المسلمات :

تهدف دراستنا إلى إعداد المخططات الإنسانية الالزمة لكافية عناصر المشروع ، و سوف يتم الاعتماد في المشروع على كل من الكود الأمريكي (ACI-318-08) و الكود الأردني للأحمال .

5-1 فصول المشروع :

- الفصل الأول : المقدمة .
- الفصل الثاني : الوصف المعماري .
- الفصل الثالث : الوصف الإنسائي .
- الفصل الرابع : التحليل و التصميم الإنسائي .
- الفصل الخامس : النتائج و التوصيات .

6-1 الجدول الزمني للمشروع :

Suggested Time	-	١	٢	٣	٤	٥	٦	٧	٨	٩	١٠	١١	١٢	١٣	١٤	١٥	١٦	١٧	١٨	١٩	٢٠	٢١	٢٢	٢٣	٢٤	٢٥	٢٦	٢٧	٢٨	٢٩	٣٠
Project Selection																															
Site Study																															
Collect information about the project																															
Architectural study of the building																															
Structural study of the building																															
Preparation of graduation project introduction																															
Make the presentation																															
Structural analysis																															
Structural design																															
Preparation of construction drawings of the project																															
Writing the document																															
Stand by time																															
Presentation of the project																															

جدول (١-١) : الجدول الزمني للمشروع

2

الفصل الثاني

الوصف المعماري

1-2 مقدمة .

2-2 لامة عامة عن المشروع .

3-2 موقع المشروع.

4-2 وصف طوابق المشروع.

5-2 الواجهات .

6-2 وصف الحركة و المداخل.

7-2 المدخل.

2-1 مقدمة :

تعتبر العمارة أم العلوم الهندسية، وهي ليست وليدة هذا العصر؛ بل هي منذ أن خلق الله تعالى الإنسان الذي أطلق العنان لمواهبه و خواطره، فانتقل بهذه المواهب من حياة الكهوف إلى أفضل صورة من صور الرفاهية، مستغلًا ما وهبته الله من جمال لهذه الطبيعة الخلابة.

وبهذا أصبحت العمارة فنًّاً وموهبةً وأفكار، تستمد قوتها مما وهبها الله للمعماري من مواهب الجمال. وإذا كان لكل فن أو علم ضوابط وحدود يقف عندها فإن العمارة لا تخضع لأي حد أو قيد، فهي تتأرجح ما بين الخيال والواقع؛ والنتيجة قد تكون أبنيةً متناهية البساطة والصراحة تثير فينا بعض الفضول رغم أنها قد تخبي لنا العديد من المفاجآت عندما ندخلها ونتفاعل مع تفاصيلها.

وقد يبدو المبني بسيطًا من الخارج، وكأنه مفكك إلى عدة قطع ضخمة دون الشعور بالاتصال بين هذه القطع؛ مع أنها في حقيقة الأمر متصلة ومترابطة عبر عدة فراغات وجسور. وقد يعتمد المبني في تركيبته الهندسية اعتماداً كلياً على شكل هندي منظم كوحدة متكررة في كل أجزاء المبني، وإن كانت أحيانًا تحرف وتقطع لتخرج بتركيبة بصرية لا توحى بارتباطها بالشكل المنظم.

إن عملية التصميم لأي منشأ أو مبني تتم عبر عدة مراحل حتى يتم إنجازه على أكمل وجه، تبدأ أولاً بمرحلة التصميم المعماري حيث يتم في هذه المرحلة تحديد شكل المنشأ ويؤخذ بعين الاعتبار تحقيق الوظائف والمتطلبات المختلفة التي من أجلها سيتم إنشاء هذا المبني، حيث يجري توزيع أولي لمراقبة، بهدف تحقيق الفراغات والأبعاد المطلوبة وتحديد مواقع الأعمدة والمحاور، وتنتمي في هذه العملية أيضاً دراسة الإنارة والتقوية والحركة والنقل وغيرها من المتطلبات الوظيفية.

وبعد الانتهاء من مرحلة التصميم المعماري وإخراجها بصورةها النهائية تبدأ عملية التصميم الإنسائي التي تهدف إلى تحديد أبعاد العناصر الإنسانية وخصائصها اعتماداً على الأحمال المختلفة الواقعة عليها والتي يتم نقلها عبر هذه العناصر إلى الأساسات ومن ثم إلى التربة.

2-2 لمحَّة عامة عن المشروع :

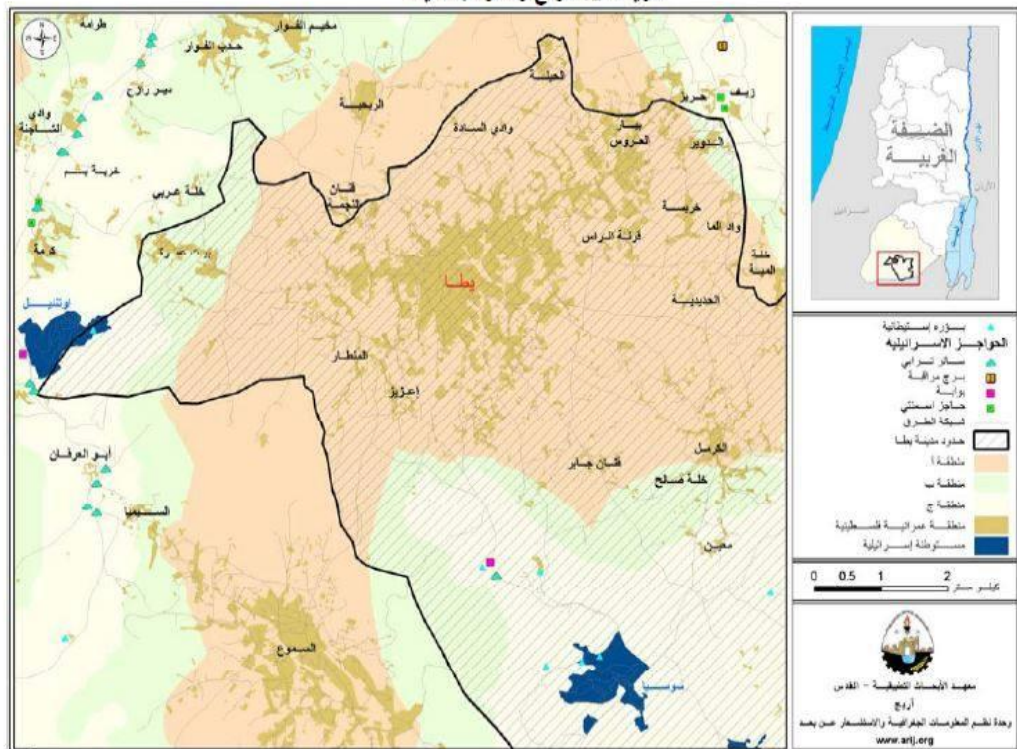
تعاني مدينة يطا من عدة مشاكل في تصميم المدارس نتيجة لعدة أسباب منها : سيطرة الاحتلال الإسرائيلي على الموارد المتوفرة وقلتها في نفس الوقت، وغياب التخطيط الجيد في توزيع المدارس . لذلك أتت الحاجة لتصميم مدرسة تراعي احتياجات الطلبة الفلسطينيين النفسية والجسدية، ويساعد في إصلاح وتطوير القطاع التعليمي الفلسطيني .
و ما لا شك فيه أن دور المدارس في عصرنا الحالي لم يعد يقتصر على تقديم خدمة التعليم فقط بل تشكل المدارس عنصراً هاماً في بناء شخصية الفرد في المجتمعات المتحضرة، فالمدارس وحين تضطلع بدورها الذي أنسأت من أجله فإنها تحقق الغاية التي جاءت من أجلها حيث يأتي دور المدرسة حتماً بعد دور الأسرة، فحينما تؤدي الأسرة دورها في تربية النّشأ يأتي دور المدرسة، وبتكامل دور الأسرة والمدرسة تكتمل الأدوار في تربية النّشأ وتعلمه، كما أن أهمية المدرسة تكمن في تهيئه بيئة تواصل واجتماع بين الطلاب، بحيث تتمي مهاراتهم الإجتماعية والسلوكية، وخاصة حين توفر المدرسة لطلابها فرصة للرّاحة والتّجمع مع بعضهم وهذا ما نهدف اليه .

3-2 موقع المشروع :

لتصميم أي مشروع فإنه ينبغي دراسة الموقع المراد تشييد المبنى فيه بعناية فائقة سواء تعلق ذلك بالموقع الجغرافي أم بتأثير القوى المناخية السائدة في المنطقة. بحيث تسان العناصر القائمة و علاقتها بالتصميم المقترن في تألف وتناغم لتحقيق التصميم الأمثل.
فذلك يجب إعطاء فكرة عامة عن عناصر الموقع، من توضيح لمقاسات الأرض المقترحة للبناء، علاقة الموقع بالشوارع والخدمات المحيطة، ارتفاع المباني المحيطة، واتجاه الرياح السائدة والضجيج ومسار الشمس.

الموقع المقترن للمشروع هو جزء من أرض بالقرب من منطقة عزيز ،مدينة يطا، جنوب غرب مدينة الخليل، جنوب الضفة الغربية، ترتفع قطعة الأرض 720م عن سطح البحر، وترتبط بطريق رئيسي هو شارع الخليل- يطا.

خرائطة 1: موقع وحدود بلدة يطا



الشكل (1-2) خارطة الموقع الجغرافي لمدينة يطا .

2-3-1 أهمية الموقع :

الشروط العامة لاختيار الموقع :

إن عملية اختيار أرض لإقامة مدرسة لا تقيم بشكل أساسي لتوفر قطعة الأرض بل تقيم على أساس ومعايير تساعد في وضع قرار سليم بوجه المشروع إلى ذلك المסלك الذي يضفي على خدمات المشروع وأجزائه صبغة التكامل والتوافق مع النسيج الحضري العام . وفيما يلي عدة نقاط مهمة في عملية اختيار أرض المدرسة :

1. جغرافية الموقع : هو الجانب الذي يختص في دراسة موقع الأرض بالنسبة للنسيج العمراني بشكل عام ، وتأثير الموقع على وظيفة المبني ، ودراسة المناخ وطبيعة غرافية الأرض .
2. شبكة المواصلات : هو الجانب الذي يتم فيه دراسة الطرق الرئيسية والفرعية المؤدية للموقع.
3. الغطاء النباتي: هو الجانب الذي يتحدث عن طبيعة الأرض من حيث احتوائها على الغطاء النباتي من أشجار ونباتات .
4. أنماط المباني المحيطة : طبيعة المباني المحيطة بقطعة الأرض ونوعها ، تجارية ،صناعية ،سكنية، أم خدمانية ... الخ . وكيفية تأثير هذه المباني على قطعة الأرض وتأثيرها على المبني المراد إنشاؤه ، ونوعية مواد البناء المستخدمة في المباني المحيطة وارتفاعاتها إن وجدت .

2-3-2 حركة الشمس والرياح :

تتعرض مدينة يطا إلى الرياح الشمالية الشرقية وهي رياح باردة جدا وجافة ،واليها يعود انخفاض الحرارة في المناطق المرتفعة، كما تتعرض إلى الرياح الجنوبية الغربية وهي رياح محملة بالأمطار والرطوبة . ونظراً لموقعتها الجغرافي فإن الرياح الغربية تهب عليها وتصطدم بتيارات دافئة ، وتلقي تلك القادمة من الشرق بالرياح القادمة من الغرب فتقلل من رطوبتها وتجعلها أكثر انسجاما ، إذ تجعل الهواء متعدلا جافا، كما تهب على المدينة رياح جافة كرياح الخمسين في أواخر فصل الربيع.

إن دراسة حركة الشمس والرياح من العوامل المهمة في تحليل المبني، فالشمس طاقة مرغوب فيها، وتجهيز المبني تجاه الشمس مع حمايته من السطوع الواقع عليه من المنطقة الغربية هي وسيلة ناجحة في الحصول على أكبر قدر ممكن من الطاقة الشمسية في أيام البرد، والتقليل من كمية الطاقة المستهلكة للتتدفئة، وللرياح تأثير كبير على المبني، فهي تعد حمل أفقى يؤثر على جدران المبني، وبالتالي على الهيكل الإنساني له فيجب مراعاة تأثير الرياح والشمس على المبني ليتم تصميمه بشكل يلبي شروط التصميم المتعلقة بالتهوية.

2-3-3 الرطوبة:-

مناخ يطا يتأثر بمناخ فلسطين الذي يعرف بأنه جاف وحار صيفاً ومتعدل وماطر شتاءً، ومناخ يطا يتباين تبعاً للتضاريس والمسطحات المائية المجاورة والبعد عن الصحراء، أما فيما يتعلق بالأمطار فإن معدلات التساقط متغيرة تبعاً للتضاريس المنطقية الجغرافية والتي تعتبر جزء من محافظة الخليل حيث إن الأمطار في يطا تتراوح ما بين (400-600) ملم سنوياً.

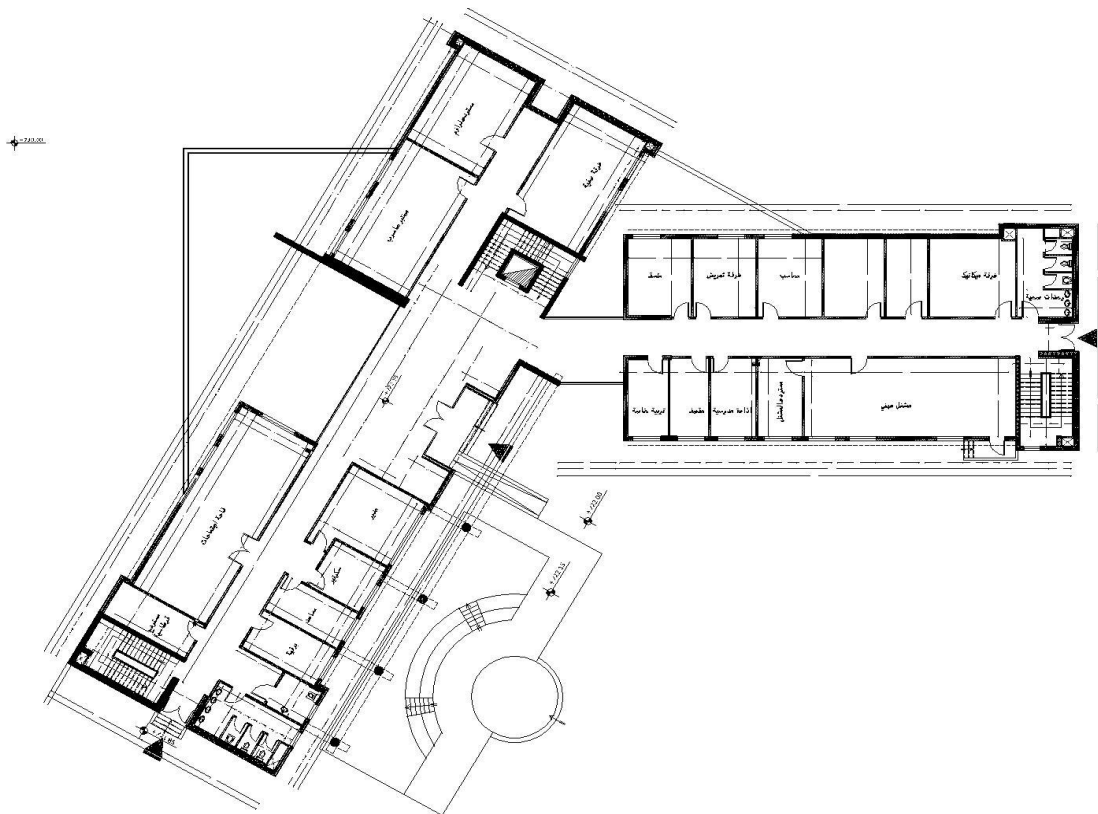
2-4 وصف طوابق المشروع :-

يتكون المشروع من أربعة طوابق ومسرح ذات تنوع خدماتي ، وهو عبارة عن مؤسسة معقدة ذات مراافق متعددة، التوزيع المعماري لهذه المراافق يتسم بالتعقيد وعدم التمايز بين الطوابق وهذا أدى إلى صعوبة في التصميم الإنسائي للمشروع .

1-4-2 الطابق الأرضي:-

(منسوب 0.55 م) بمساحة تقدر بـ 1256 م^2 .

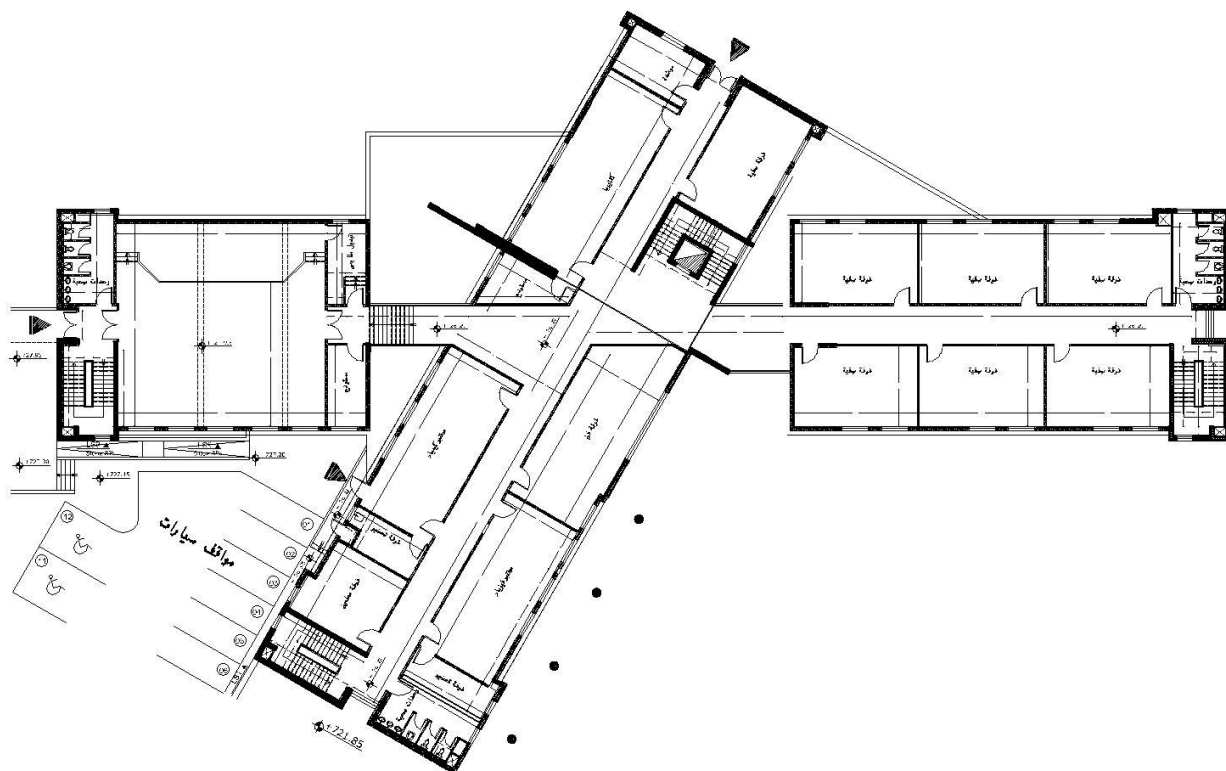
يتكون الطابق الأرضي من قاعة كبيرة للجتماعات، ومكاتب للإدارة والسكرتارية والمدرسين، بالإضافة لمشاغل هندسية، ومستودعاتها، وغرف صفيّة ومختبر للحاسوب ومستودع للفرطاسية ومقصف وإذاعة مدرسية، ووحدات صحية.



الشكل (2-2): المسقط الأفقي للطابق الأرضي.

2-4-2 الطابق الأول:-(منسوب 4.29 م) بمساحة تقدر بـ 1256 م^2 .

يتكون الطابق الأول من غرف صفية، وغرفة فن، ومختبر كيمياء، ومختبر فيزياء، وغرفة تحضير، وكافيتيريا، وحدات صحية، غرف مدرسية.

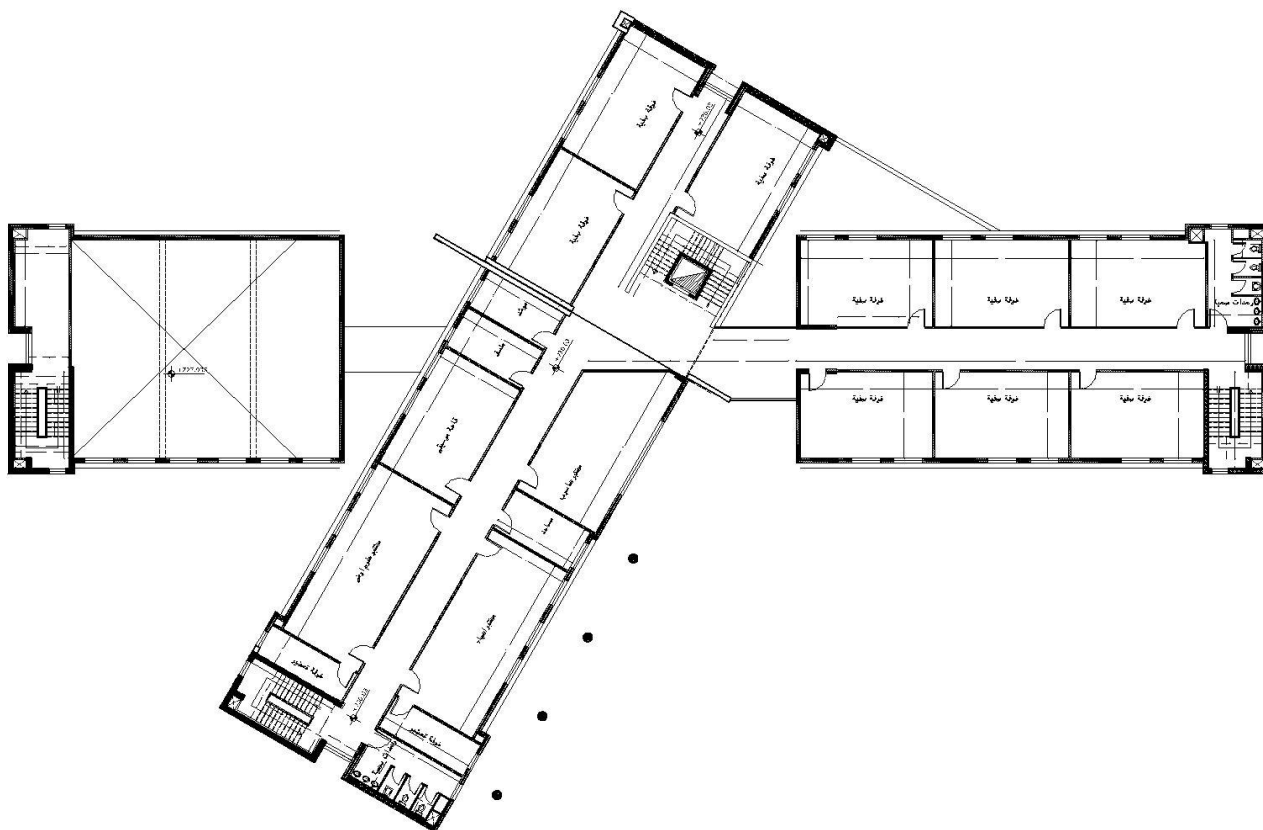


الشكل (3-2) : المسقط الأفقي للطابق الأول.

4-3 الطابق الثاني:-

(منسوب 11.60 م) بمساحة تقدر بـ 1283 م^2 .

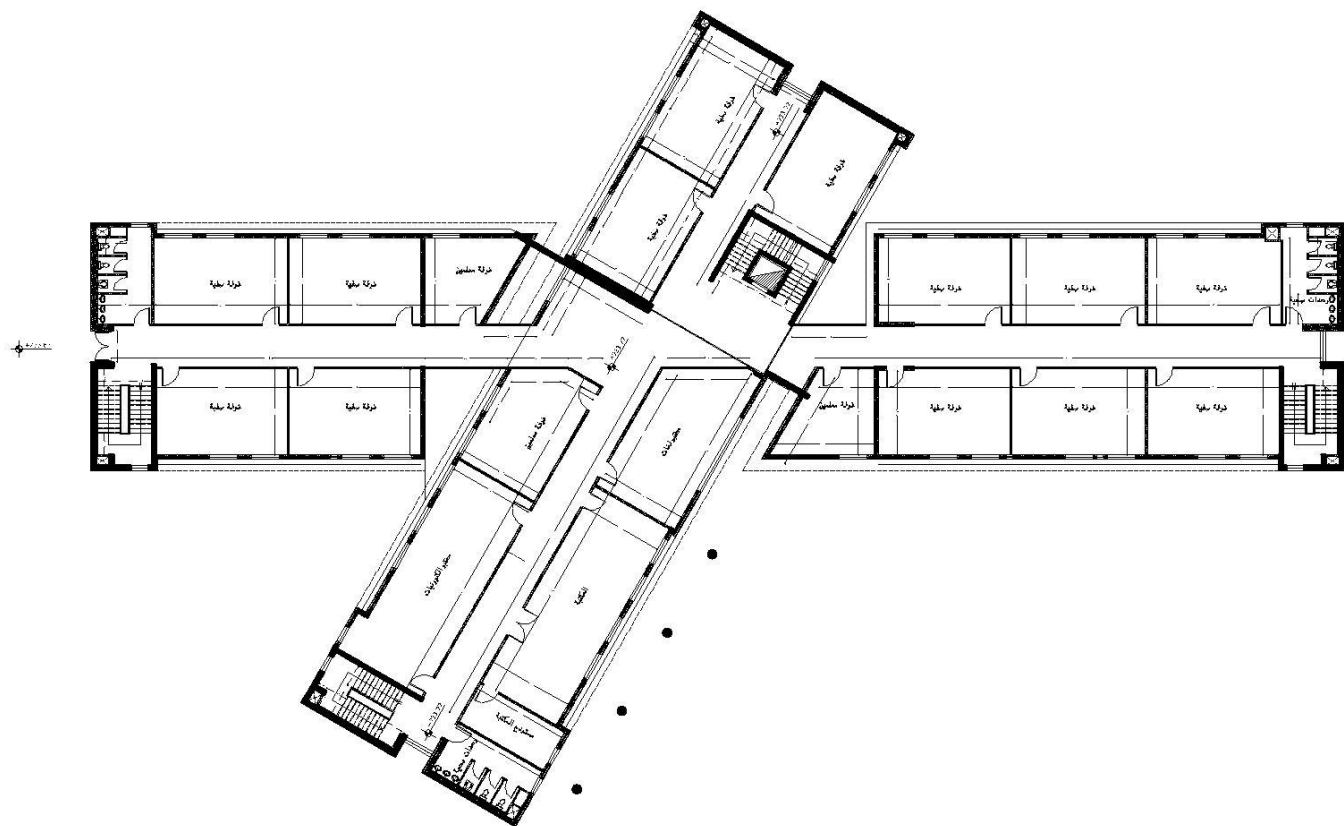
يتكون الطابق الثاني من غرف صفية، مختبر أحياء، مختبر علوم الأرض، غرف تحضير، غرفة منسق، ومساعد، ومرشد، ووحدات صحية، وغرفة موسيقى.



الشكل (4-2): المسقط الأفقي للطابق الثاني.

4-4-2 الطابق الثالث:-(منسوب 16.80 م) بمساحة تقدر بـ 1329 م².

يتكون الطابق الثالث من غرف صفية وغرف للمعلمين ومكتبة ومستودع المكتبة ومخابر أغاث ومخابر الالكترونيات ووحدات صحية.

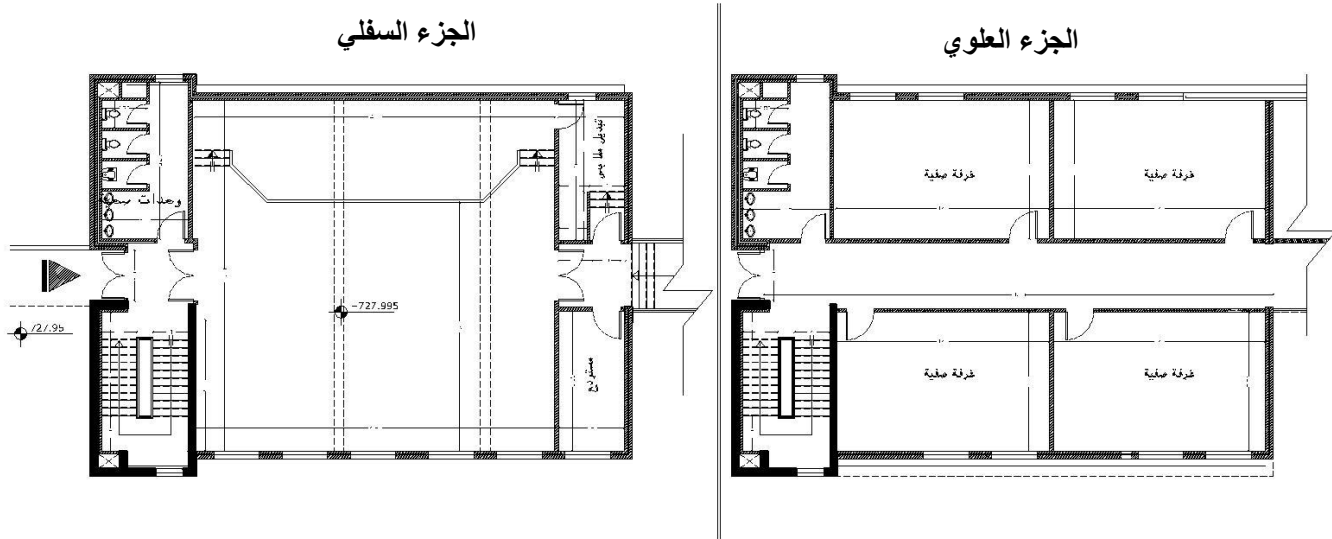


الشكل (5-2) : المسقط الأفقي للطابق الثالث.

4-5-2 المسرح:-

(منسوب 22,00 م) بمساحة تقدر بـ 328 م^2 .

يعتبر المسرح جزء من الطابق الأول والثاني والثالث، حيث يتكون من جزئين؛ جزء سفلي يمتد من الطابق الأول والثاني بارتفاع 7.4 متر، وجزء علوي متصل مع الطابق الثالث ويكون من غرف صفية.



الشكل (6-2): المسقط الأفقي للمسرح.

5-2 الواجهات :-**1-5-2 الواجهة الجنوبية :**

و يظهر فيها المدخل الرئيسي للمنزل ، و جمالية توزيع الكتل المعمارية .



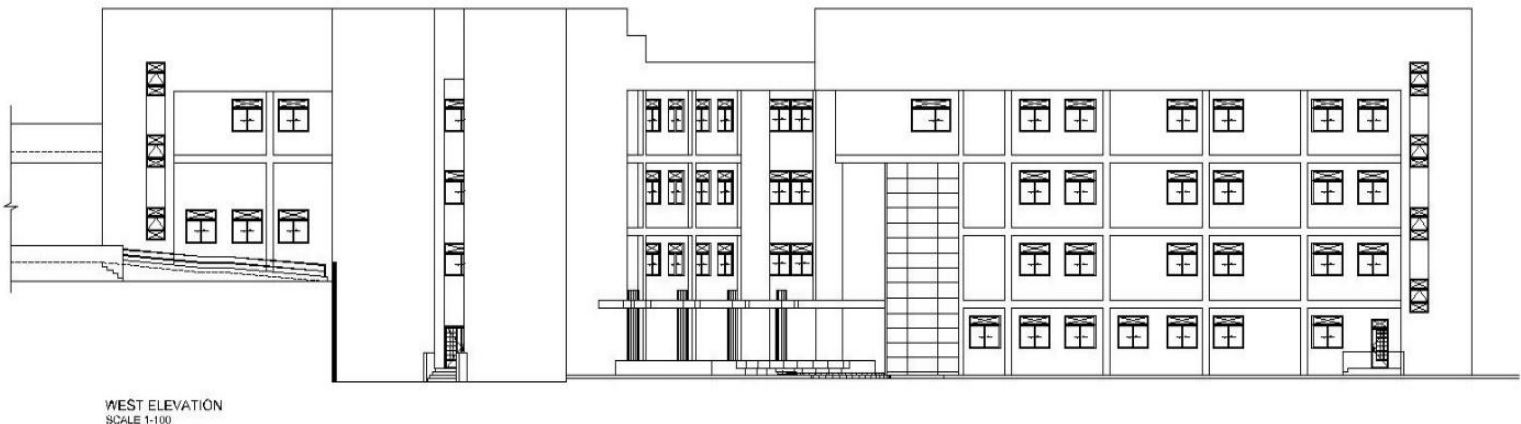
الشكل (7-2): الواجهة الجنوبية.



الشكل (8-2): الواجهة الجنوبية - ثلاثة الأبعاد .

2-5-2 الواجهة الغربية:

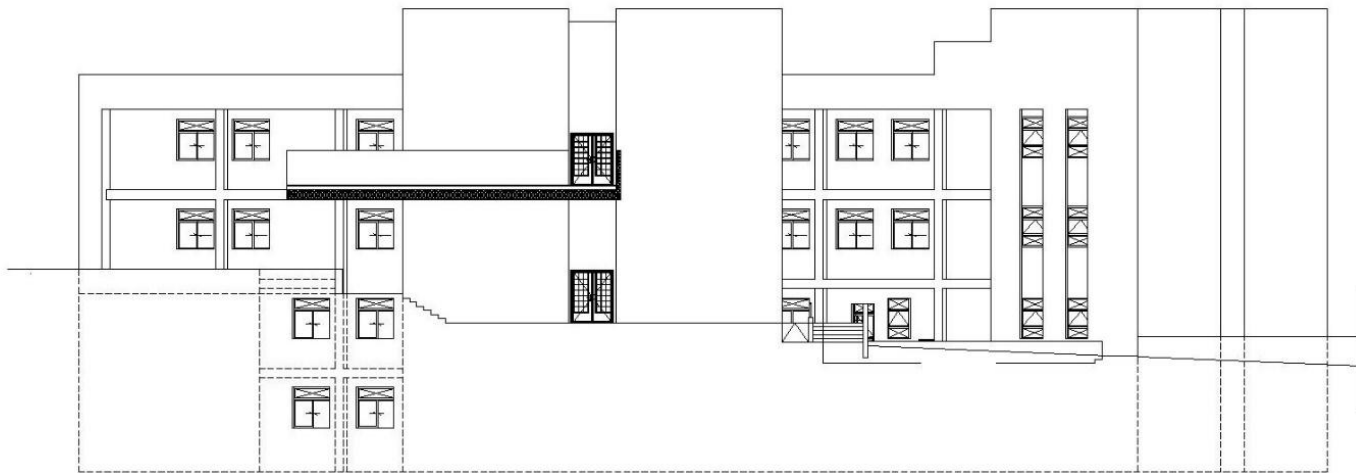
ويظهر فيها مدخل رئيسي آخر للمنبى و تظهر الكتل المعمارية بشكل أوضح.



الشكل (9-2) : الواجهة الغربية.

3-5-2 الواجهة الشمالية:

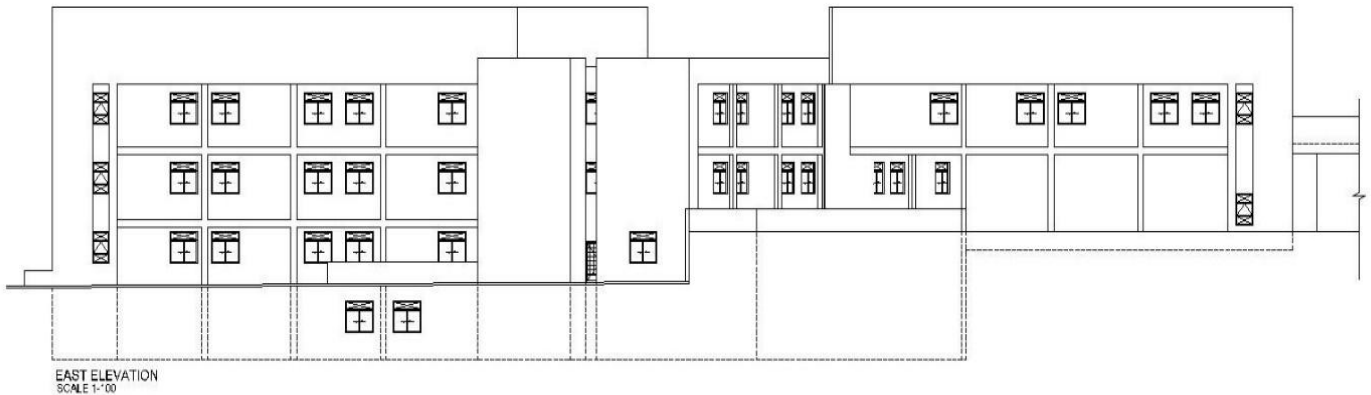
ويظهر فيها مداخل أخرى للمنبى بالإضافة لمدخل طوارئ .



الشكل (10-2) : الواجهة الشمالية.

2-5-4 الواجهة الشرقية :

ويظهر فيها مدخل فرعي للموظفين ، بالإضافة إلى ممر للمركبات يؤدي إلى داخل طابق التسوية .



الشكل (11-2) : الواجهة الشرقية .

لقطة ثلاثة الأبعاد :

الشكل (12-2) : لقطة ثلاثة الأبعاد .

2-6 وصف الحركة والمداخل :-

تم تصميم المنشأة بحيث تتيح حرية و سهولة التنقل بين أجزاء المبني و طوابقه من خلال المصاعد الموزعة على كافة أجزاء المبني. و يوفر التصميم انتظام في توزيع الفراغات مما يوفر راحة في التنقل .

7-2 المداخل :-

يحتوي المشروع على مدخل أساسى:

1. المدخل الجنوبي وهو المدخل الرئيسي هو للاستخدام العام.
2. المدخلين الغربيين و هما مدخل للسيارات ومدخل إلى المبني.
3. مداخل الشمالي وهو مدخل جانبي للمشروع. بحيث يتصل مع الطابق الثالث بممر معلق.
4. مدخل جنوبى غربى للمشاغل.

3

الفصل الثالث

الوصف الإنشائي

1-3 مقدمة .

2-3 الهدف من التصميم الإنشائي .

3-3 مراحل التصميم الإنشائي .

4-3 الأحمال.

5-3 الاختبارات العملية .

6-3 العناصر الإنسانية المكونة للمبنى السكني التجاري .

7_3 العناصر الإنسانية المكونة للمنشأ المعدني.

8_3 النظام الميكانيكي للمبنى السكني التجاري .

8-3 برامج الحاسوب.

1-3 مقدمة :-

بعد دراسة المشروع من الناحية المعمارية لابد من الانتقال للجانب الإنسائي لدراسة العناصر الإنسانية ووصفها وصفاً دقيقاً، حيث يتم دراسة طبيعة الأحمال المسلطة على المبنى وكيفية التعامل معها للخروج بتصميم إنساني يلبي جميع متطلبات الأمان ويراعي الجانب الاقتصادي للمشروع.

كما يتطلب التصميم الإنساني اختيار العناصر الإنسانية المناسبة للمشروع المراد إنشاؤه ومراعاة قابلية تنفيذها على أرض الواقع بحيث يكون المبنى آمناً، ونحافظ على التصاميم المعمارية.

2-3 الهدف من التصميم الإنساني:-

التصميم الإنساني عملية متكاملة تعتمد على بعضها البعض حيث تلبي مجموعة من الأهداف والعوامل من شأنها الخروج بمنشأ يحقق الهدف المرجو منه، وهذه الأهداف هي على النحو التالي:-

- 1 الأمان(Safety) : حيث يكون المبنى آمن في جميع الأحوال ومقاوم للتغيرات الطبيعية المختلفة.
- 2 والتكلفة الاقتصادية(Economical) : وهي تحقيق أكبر قدر من الأمان للمنشأ بأقل تكلفة اقتصادية.
- 3 ضمان كفاءة الاستخدام (Serviceability): تجنب أي خلل في المنشأ كوجود بعض التشغقات وبعض أنواع الهبوط التي من شأنها أن تصيب مستخدمي المبنى.
- 4 الحفاظ على التصميم المعماري للمنشأ.

3-3 مراحل التصميم الإنساني:-

يمكن تقسيم مراحل التصميم الإنساني إلى مرحلتين رئيسيتين:

1. المرحلة الأولى :-

وهي الدراسة الأولية للمشروع من حيث طبيعة المشروع وحجمه، بالإضافة لفهم المشروع من جميع جوانبه المختلفة، وتحديد مواد البناء التي سوف يتم اعتمادها للمشروع، ثم عمل التحاليل الإنسانية الأساسية لهذا النظام، والأبعاد الأولية المتوقعة منه.

2. المرحلة الثانية:

تتمثل في التصميم الإنساني لكل جزء من أجزاء المنشأ، بشكل مفصل ودقيق وفقاً لنظام الإنساني الذي تم اختياره وعمل التفاصيل الإنسانية اللازمة له من حيث رسم المساقط الأفقية والقطاعات الرئيسية وتفاصيل تفرييد حديد التسليح.

4-3 الأحمال :-

تقسم الأحمال التي يتعرض لها المبنى إلى أنواع مختلفة وهي كما يلي:-

1-4-3 الأحمال الميتة :-

هي الأحمال الناتجة عن الوزن الذاتي للعناصر الرئيسية التي يتكون منها المنشأ، بصورة دائمة وثابتة، من حيث المقدار والموقع، بالإضافة لأجزاء إضافية كالقواطع الداخلية باختلافها وأي أعمال ميكانيكية أو إضافات تنفذ بشكل دائم وثابت في المبنى، ويمكن حسابها من خلال تحديد أبعاد العنصر الإنشائي، وكثافات المواد المكونة له ، والجدول (1-3) يبين الكثافات النوعية للمواد المستخدمة في المشروع .

جدول (1-3): الكثافة النوعية للمواد المستخدمة .

الرقم المتسلسل	المادة المستخدمة	الكثافة المستخدمة (kN/m ³)
1	المونة والقصارة	22
2	الرمل	16
3	الخرسانة	25
4	الطوب	10
5	البلاط	23

أحمال القواطع (Partition) = kN/m² 1.5

2-4-3 الأحمال الحية :-

وهي الأحمال التي تتغير من حيث المقدار والموقع بصورة مستمرة كالأشخاص، الأثاث، الأجهزة ، والمعدات ، وتعتمد قيمة هذه الأحمال على طبيعة الاستخدام للمنشأ و يؤخذ عادة مقدارها من جداول خاصة في الكودات المختلفة، والجدول (2-3) يبين الأحمال الحية في المشروع والمحددة بالرجوع إلى الكود الأردني.

جدول (2-3): الأحمال الحية .

الرقم المتسلسل	طبيعة الاستخدام	الحمل الحي (kN/m ²)
1	غرف التدريس	3
2	المرات و الأدراج	4
3	باقي الغرف والحمامات	2

وقد تم تعليم الحمل الحي = 5(kN/m²) لجميع الأماكن وتشمل القواطع

3-4-3 الأحمال البيئية:

وتشمل الأحمال التي تنتج بسبب التغيرات الطبيعية التي تمر على المنشأ كالثلوج والرياح وأحمال الهزات الأرضية، والأحمال الناتجة عن ضغط التربة، وهي تختلف من حيث المقدار والاتجاه ومن منطقة لأخرى، و يمكن اعتبارها جزءاً من الأحمال الحية وهي كما يلي:-

1-3-4-3 أحمال الرياح :

أحمال الرياح تؤثر بقوى أفقية على المبني ، ولتحديد أحمال الرياح تم الاعتماد على سرعة الرياح القصوى التي تتغير بتغير ارتفاع المنشأ عن سطح الأرض وموقعه من حيث إحاطته بمباني مرتفعة أو وجود المنشأ نفسه في موقع مرتفع أو منخفض والعديد من المتغيرات الأخرى .

وسيتم اعتماد الكود الألماني (DIN 1055-5) للحصول على قيم قوى الرياح الأفقية ، وهذا يظهر جلياً في المعادلة التالية ، وباستخدام الجدول رقم (3-3) الموضح فيما يلي :-

جدول (3 - 3) : سرعة وضغط الرياح اعتماداً على الكود الألماني DIN 1055-5

Height Above the surface(m)	0 to 8	>8 to 20	>20 to 100	>100
Wind Speed (m/sec)	28.3	35.8	42	45.6
Wind velocity Pressure (KN/ m ²)	0.50	0.80	1.1	1.30

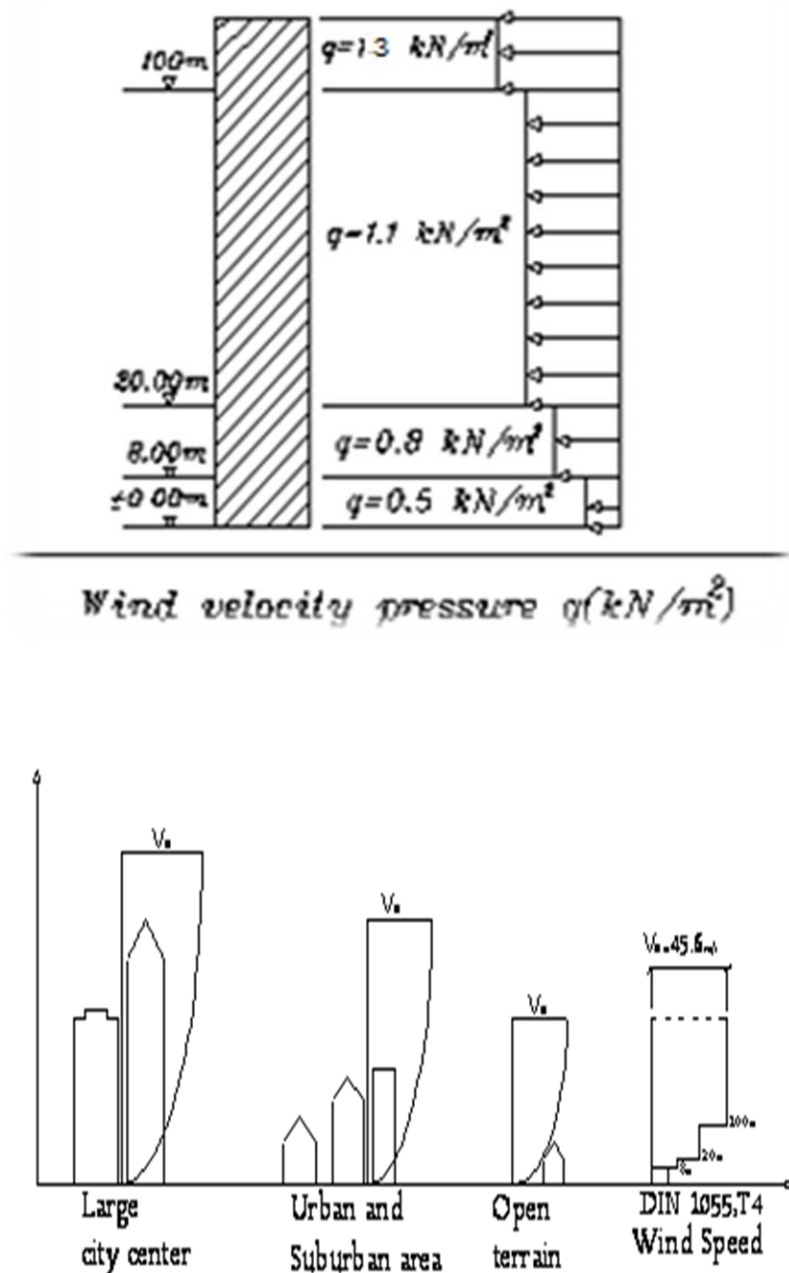
$$q = v^2 / 1600$$

حيث أن :

q : الضغط динاميکي للرياح على ارتفاع محدد من منسوب سطح الأرض المحيطة
.(KN/ m²)

V : السرعة التصميمية للرياح (m/sec) .

ويبيّن الشكل (1-3) تأثير الرياح على المبني من حيث ارتفاع المبني والبيئة المحيطة به .



الشكل (1-3): تأثير الرياح على المبني من حيث ارتفاع المبني والبيئة المحيطة به .

3-4-3 أحصار الثلوج:

تعتمد أحصار الثلوج على ارتفاع المنطقة عن سطح البحر، وعلى شكل السقف ، ويتم تحديدها باستخدام Codes البناء المختلفة ، من خلال جداول تأخذ ارتفاع المنشأ عن سطح البحر و زاوية ميل السقف كأساس لتحديد قيمة القوى التي تؤثر بها على المنشأ.

و الجدول التالي يبين قيمة أحصار الثلوج حسب الارتفاع عن سطح البحر مأخوذا من كود البناء الأردني.

جدول(4-3): أحصار الثلوج حسب الارتفاع عن سطح البحر

أحصار الثلوج (KN /M ²)	علو المنشأ عن سطح البحر (H) (بالمتر)
0	$h < 250$
$(h-250) / 1000$	$500 > h > 250$
$(h-400) / 400$	$1500 > h > 500$
$(h - 812.5)/ 250$	$2500 > h > 1500$

استناداً إلى جدول أحصار الثلوج السابق وبعد تحديد ارتفاع المبني عن سطح البحر، و الذي يساوي (722م) وتبعاً للبند الثالث تم حساب أحصار الثلوج كالتالي:

$$s_L = \frac{h - 400}{400}$$

$$s_L = \frac{920 - 400}{400}$$

$$s_L = 1.3(\text{KN } / \text{m}^2)$$

3-3-4-3 أحصار الزلازل:

تنتج الزلازل عن اهتزازات أفقية ورأسمية بسبب الحركة النسبية لطبقات الأرض الصخرية ، فتنتج عنها قوى قص تؤثر على المنشأة، ويجب أن تؤخذ هذه الأحمال بعين الاعتبار عند التصميم وذلك لضمان مقاومة المبني للزلازل في حال حدث وبالتالي التقليل من الأضرار المحتملة نتيجة حدوث الزلازل.

وسيتم مقاومتها في هذا المشروع عن طريق جدران القص الموزعة في المبني بناءً على الحسابات الإنسانية لها. الذي ستستخدم من أجله، لتجنب الآثار الناتجة عن الزلازل مثل :

- حدود صلاحية المبني للتشغيل (Serviceability Deflection) من حيث تجنب أي هبوط زائد
- الشكل والنواحي الجمالية للمنشأ.

5-3 الاختبارات العلمية:

يسبق الدراسة الإنشائية لأي مبنى ، عمل الدراسات الجيوبتقالية للموقع، ويعنى بها جميع الأعمال التي لها علاقة باستكشاف الموقع ودراسة التربة والصخور والمياه الجوفية ، وتحليل المعلومات وترجمتها للتبنو بطريقة تصرف التربة، عند البناء عليها، وأكثر ما يهتم به المهندس الإنشائي هو الحصول على قوة تحمل التربة (Bearing Capacity) اللازمة لتصميم أساسات المبني.

3-6 العناصر الإنشائية المكونة للمبني السكنى التجاري :

تتكون المباني عادةً من مجموعة عناصر إنشائية تتقاطع مع بعضها لتقاوم الأحمال الواقعه على البناء، وتشمل: العقدات، والجسور، والأعمدة، وجدران القص، والأدراج، والأساسات. و يحتوي المشروع العناصر التالية :

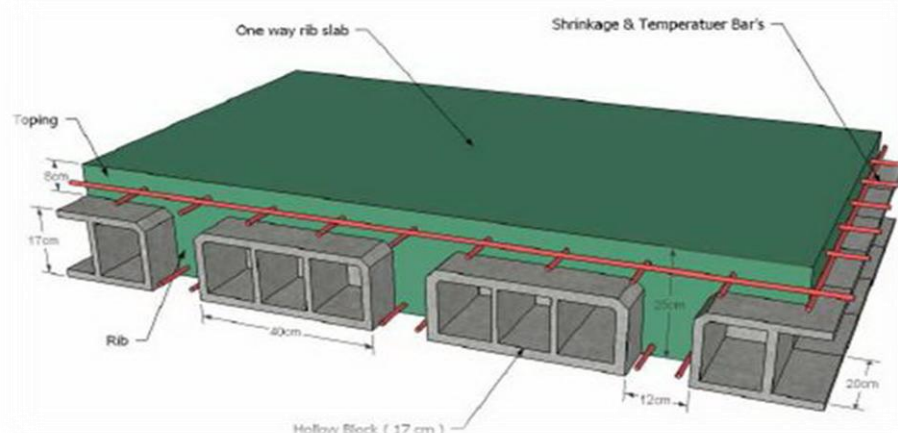
3-6-1 العقدات:

نظراً لوجود العديد من الفعاليات المختلفة في المبني ومراعاة المتطلبات المعمارية فإنه سيتم استخدام أنواع العقدات التالية في المشروع:

1. عقدات العصب ذات الاتجاه الواحد (One way ribbed slab).
2. العقدات المصمتة ذات الاتجاه الواحد (one way solid slab).

3-1-6-1 عقدات العصب ذات الاتجاه الواحد (One way ribbed slab)

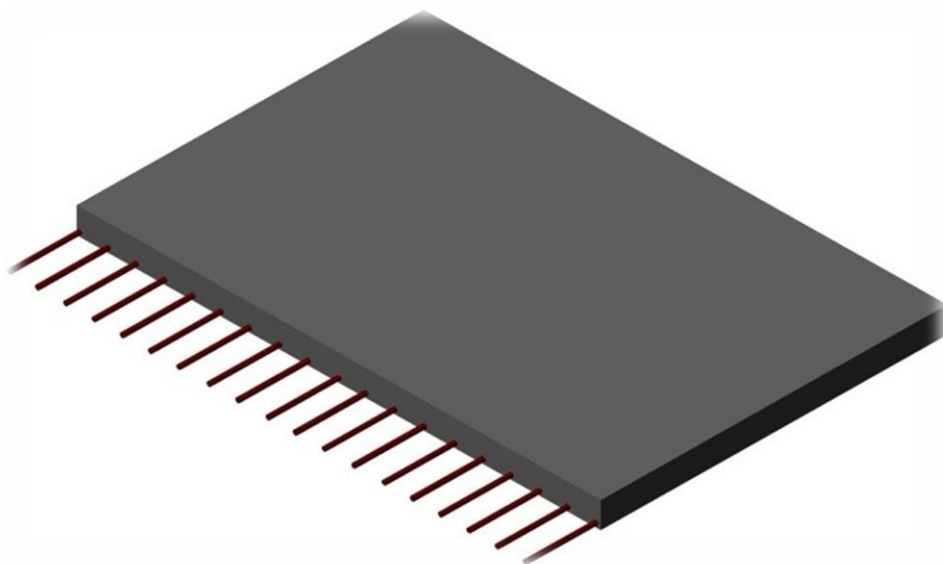
إحدى أشهر الطرق المستخدمة في تصميم العقدات في هذه البلاد وتكون من صنف من الطوب يليها العصب، ويكون التسلیح باتجاه واحد كما هو مبين في الشكل (2-3)



الشكل (2) : العقدات ذات العصب الواحد

6-1-2 العقدات المصمتة ذات الاتجاه الواحد (One way solid slab)

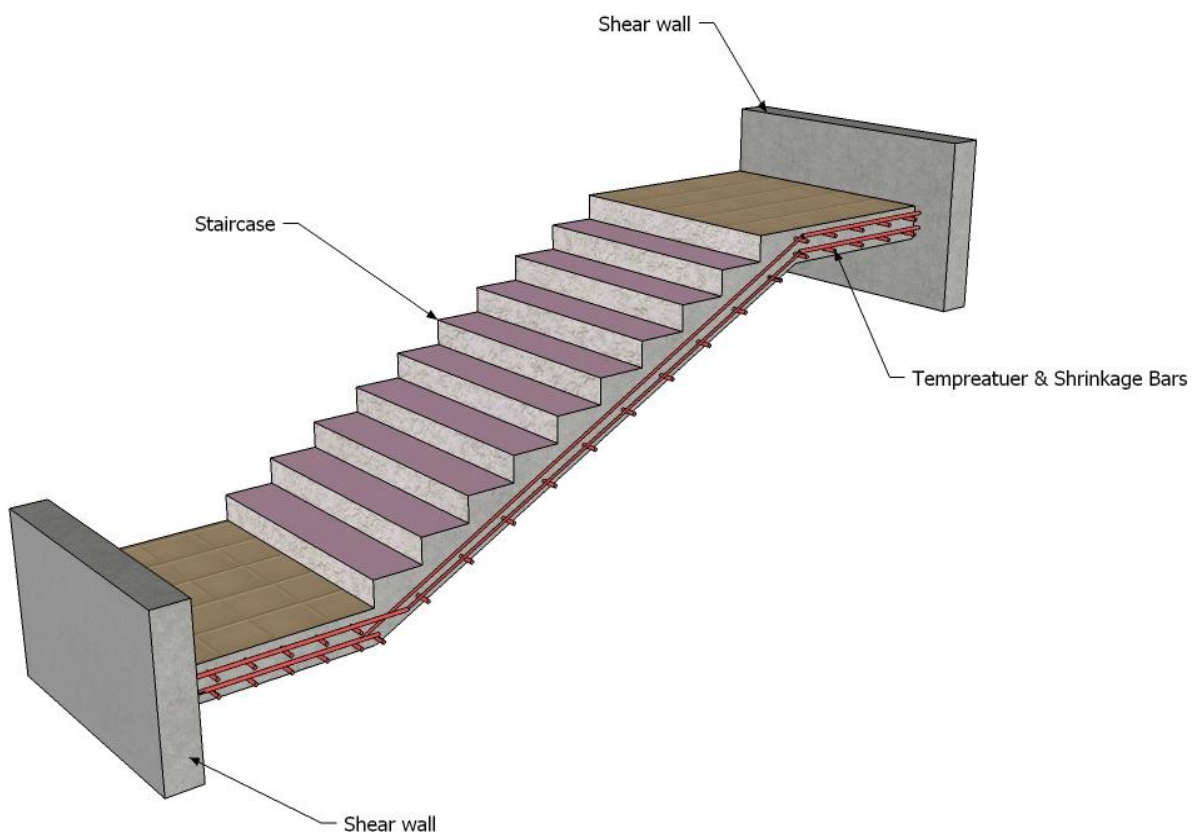
تستخدم في المناطق التي تتعرض كثيرا للأحمال الحية، كما في الشكل (4-3):-



الشكل (3 - 3): العقدات المصمتة ذات الاتجاه الواحد .

2-6-3 الأدراج:

الأدراج عنصر معماري يوجد في المبني للانتقال بين مستويين في نفس الطابق أو بين عدد من طوابق المبني ، الشكل (4-3).



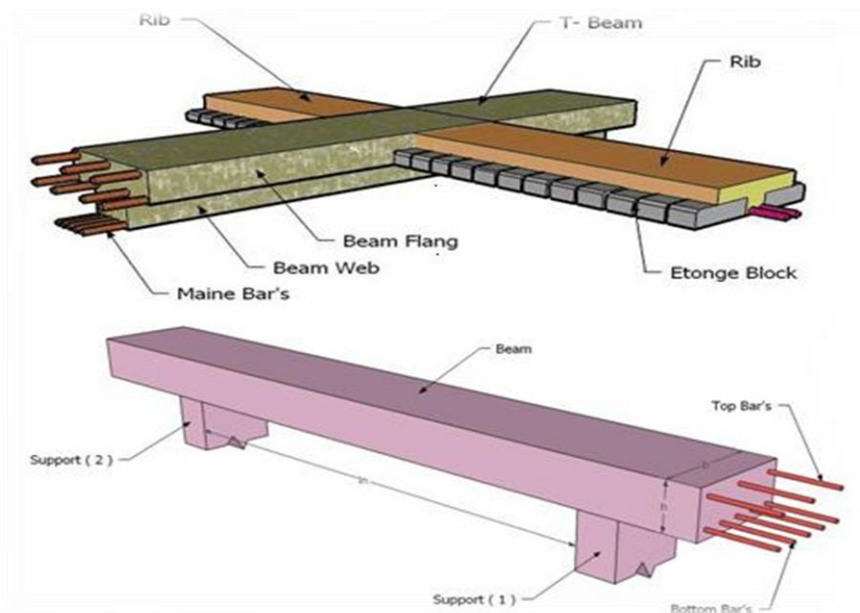
الشكل (4-3) : الدرج

3-6-3 الجسور:-

وهي عناصر أساسية في المبني تقوم بنقل الأحمال الواقعة على الأعصاب إلى الأعمدة، حيث تقسم إلى:

- 1 جسور (Rectangular)
- 2 وجسور (T-section)
- 3 جسور (L-section)

والشكل **5-3** ويكون التسلیح بقضبان الحديد الأفقية لمقاومة العزم الواقع على الجسر، وبالكائنات لمقاومة قوى القص والشك



الشكل (3-5) : أنواع الجسور المستخدمة في المشروع .

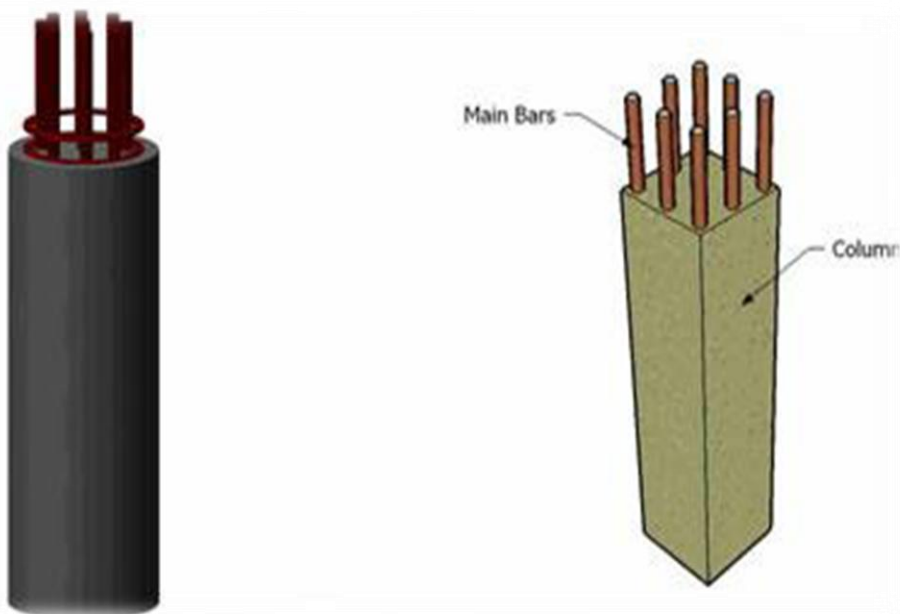
4-6-3 الأعمدة:

هي عنصر أساسي ورئيسي في المنشأ ، حيث تنتقل الأحمال من العقدة إلى الجسور ، وتنقلها الجسور بدورها إلى الأعمدة ، ثم إلى أساسات المبني ، لذلك فهي عنصر وسطي وأساسي، فيجب تصميمها بحرص قادرة على نقل وتوزيع الأحمال الواقعه عليها، والأعمدة نوعين من حيث التعامل معها في التصميم الإنشائي :

-1 . الأعمدة القصيرة (short column).

-2 . الأعمدة الطويلة (long column).

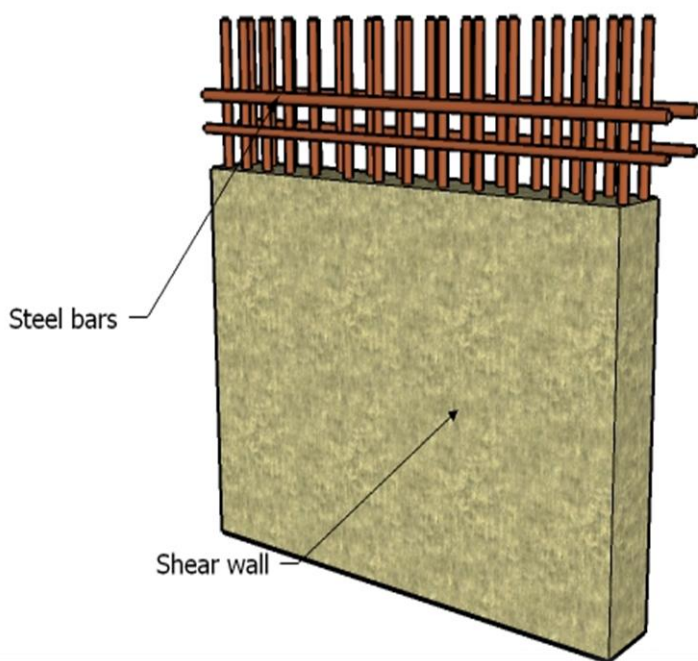
أما من حيث الشكل المعماري أو المقطع الهندسي فهي تقسم إلى ثلاثة أنواع : هي المستطيلة والدائرة والمربعة كما في الشكل (6-3).



الشكل (3-6) : أنواع الأعمدة .

5-6-3 جدران القص:

هي الجدران التي تحيط ببيت الدرج، وجدران المصاعد، وأحياناً في بعض المناطق في المبني حسب ما تقتضي الحاجة ، ووظيفة جدران القص مقاومة قوى القص الأفقيه التي قد يتعرض لها المنشأ نتيجة لأحمال الزلازل والرياح إضافة إلى كونها جدران حاملة، ويراعى توفرها في اتجاهين متعمدين في المبني لتوفير ثبات كامل للمبني والشكل التالي يبين جدار قص مسلح .(7-3).



الشكل (7-3): جدار قص .

6-6-3 الأساسات:

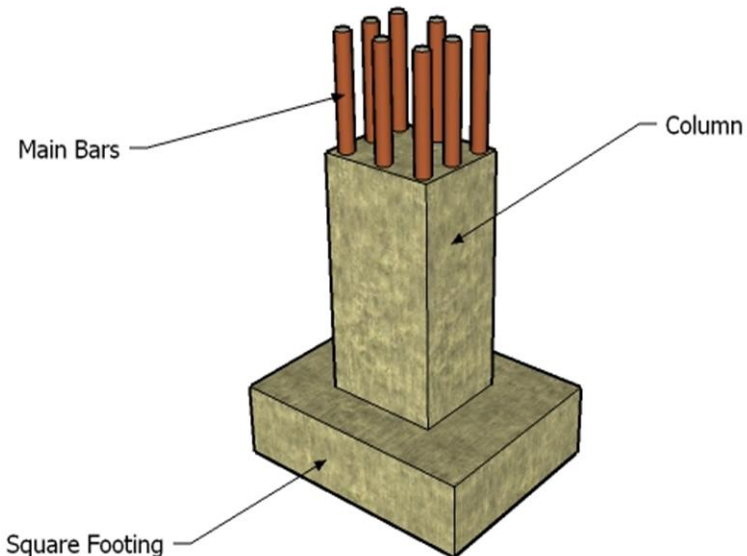
الأساسات هي أول ما يبدأ بتنفيذها عند بناء المنشأ، إلا أن تصميمها يتم بعد الانتهاء من تصميم كافة العناصر الإنشائية في المبني، حيث تقوم الأساسات بنقل الأحمال من الأعمدة والجدران الحاملة إلى التربة على شكل قوة ضغط، وهي على عدة أنواع كما يلي:-

-1- أساسات منفصلة (Isolated footing)

-2- أساسات مزدوجة (Compound footing)

-3- أساسات شريطية (Strip footing)

وسوف يتم استخدام أساسات من أنواع مختلفة وذلك تبعاً لنوع التربة وقوتها تحملها والأحمال الواقعة عليها.



الشكل (8-3) : أساس مفرد .

7-3 فوacial التمدد (Expansions Joints)

يمكن تحديد المسافة القصوى بين فوacial التمدد للمنشآت العادية كما يلى :

- من 40 إل 45 م في المناطق المعتدلة كما هو الحال في فلسطين .
- من 30 إل 35 م في المناطق الحارة .
- و يمكن زيادة هذه المسافات بشرط الأخذ بعين الاعتبار تأثير عوامل الانكماش و التمدد و الزحف .
- و في حالة أعمال الخرسانة الكلية كالحوائط الأستنادية و الأسوار يجب تقليل المسافات بين الفوacial و اخذ الاحتياطات اللازمة لمنع تسرب المياه من خلال فوacial التمدد .



الشكل (9-3) : فوacial التمدد.

8-3 برامج الحاسوب المستخدمة :

- | | |
|---|-----|
| .AutoCAD (2010) for Drawings Structural and Architectural | .1 |
| .Microsoft Office (2010) For Text Edition | .2 |
| Excel | .3 |
| Atir 12 | .4 |
| Google SketchUp | .5 |
| Safe | .6 |
| Etabs | .7 |
| Prokon | .8 |
| Sp coulmn | .9 |
| Staad pro vi8 | .10 |

Chapter Four

4

Structural Analysis and Design

4 . 1 Introduction.

4 . 2 Design method and requirement.

4 . 3 Determination of thickness.

4 . 4 Load Calculation& Design of rib 2 .

4 . 5 Design of Beam2 (B2).

4 . 6 Design of Column (C42).

4 . 7 Design of Isolated Footing.

4 . 8 Design of Stair.

4 . 9 Design of Shear wall.

4 . 10 Design of Basement wall.

4.1 Introduction:

Many structures are built of reinforced concrete: bridges, buildings, retaining walls, tunnels, and others.

Reinforced concrete is logical union of two materials: plain concrete, which possesses high compressive strength but little tensile strength, and steel bars embedded in the concrete, which can provide the needed strength in tension.

Plain concrete is made by mixing cement, fine aggregate, coarse aggregate, water, and frequently admixtures.

Understanding of reinforced concrete behavior is still far from complete, building codes and specifications that give design procedures are continually changing to reflect latest knowledge.

Structural concrete can be classified into:

- Lightweight concrete with unit weight from about 1350 to 1850 kg/m³.
- Normal weight concrete with unit weight from about 1800 to 2400 kg/m³.
- Heavyweight concrete with unit weight from about 3200 to 5600 kg/m³.

4.2 Design method and requirements:

The design strength provided by a member is calculated in accordance with the requirements and assumptions of ACI_code (318_08).

- ✓ Strength design method:

In ultimate strength design method, the service loads are increased by factors to obtain the load at which failure is considered to be occurring.

This load called factored load or factored service load. The structure or structural element is then proportioned such that the strength is reached when factored load is acting. The computation of this strength takes into account the nonlinear stress-strain behavior of concrete.

The strength design method is expressed by the following, Strength provided \geq strength required to carry factored loads.

NOTE:

The statically calculation and the key plans dependent on the architectural plans.

- ✓ Code : ACI 2008

UBC

- ✓ Material :

Concrete: B300.... $f'_c = 30 \text{ N/mm}^2 (\text{MPa})$ For circular section
but for rectangular section ($f'_c = 30 * 0.8 = 24 \text{ MPa}$) .

Reinforcement steel : The specified yield strength of the reinforcement { $f_y = 420 \text{ N/mm}^2 (\text{MPa})$ }

- ✓ Factored loads:

The factored loads for members in our project are determined by:

$$W_u = 1.2 \text{ DL} + 1.6 \text{ LL} \quad \text{ACI-code-318-08(9.2.1).}$$

4.3 Determination of thickness of one way rib slab.

4.3.1 deflection requirements:-

$$h_{min} = \frac{2.7}{18.5} = 0.146 \text{ m}$$

$$h_{min} = \frac{5.8}{21} = 0.27 \text{ m}$$

$$h_{min} = \frac{2.8}{18.5} = 0.15 \text{ m}$$

Take (h) = 32 > h_{min} = 27.3 cm ok

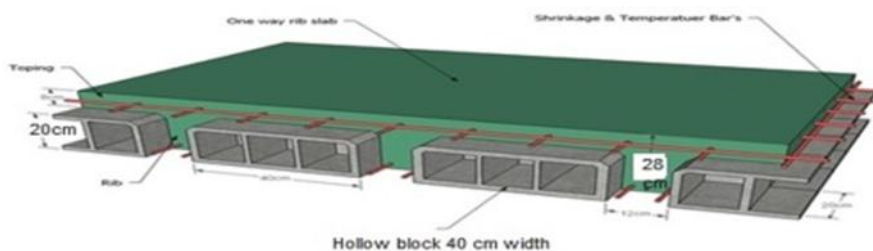


Fig. (4-1): One way rib slab

4 . 4 Load Calculation& Design of rib 2 :

4.4.1 Design of topping:

Table (4-1) : dead load for topping

No.	Material	Quality Density KN/m ³	DL (KN/m)/Rib
1	Topping	25	$0.8 \times 25 = 2$
2	Sand	16	$0.07 \times 16 = 1.12$
3	Mortar	22	$0.03 \times 22 = 0.66$
4	Tile	23	$0.03 \times 23 = 0.69$
$= \sum$		4.47	KN/m ²

Total Dead load = $4.47 * 1 = 4.47$ KN/m

Total live load= 5 KN/m.

$$W_u = 1.2D * 1.6L = 1.2 * 4.47 + 1.6 * 5 = 13.364 \text{ KN/m}$$

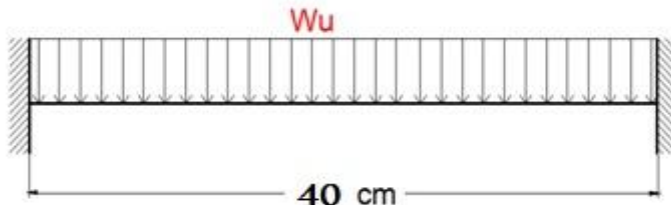


Fig (4-2): Topping load.

$$Mu = \frac{W_u * L^2}{12} = 0.178 \text{ KN.m/m} \text{ of strip width.}$$

$$\hat{\phi}M_n \geq Mu \text{ where } \phi = 0.55$$

$$\emptyset M_n = 0.55 * 0.42 * \lambda * \sqrt{f_c} * \delta m$$

$$Sm = \frac{bh^2}{6} = 1.06 * 10^{-6} \text{ m}^3$$

$$\emptyset M_n = 0.55 * 0.42 * 1 * \sqrt{25} * 1.06 = 1.232 \text{ KN.m} >> Mu = 0.178 \text{ KN.m}$$

No structural reinforcement is needed. Therefore, shrinkage and temperature reinforcement must be provided.

For the shrinkage and temperature reinforcement :-

$$\rho_{min} = 0.0018$$

$$A_s = \rho * b * h = 0.0018 * 1000 * 80 = 144 \text{ mm}^2.$$

$$\text{Number of } \emptyset 8 = \frac{As_{req}}{A_{bar}} = \frac{144}{50.3} = 2.87 \rightarrow \text{Spacing}(S) = \frac{1}{2.87} = 35\text{cm} = 350 \text{ mm.}$$

$$S \leq 380 \left(\frac{280}{f_s} \right) - 2.5 \times C_c \leq 300 \left(\frac{280}{f_s} \right)$$

$$= 380 \times \left(\frac{280}{\frac{2}{3}f_y} \right) - 2.5 \times 20 \leq 300 \times \left(\frac{280}{\frac{2}{3}f_y} \right)$$

$$= 380 \times \left(\frac{280}{\frac{2}{3} \times 420} \right) - 2.5 \times 20 = 330 \text{ mm} \leq 300 \times \left(\frac{280}{\frac{2}{3} \times 420} \right)$$

$$= S \leq 300 \text{ mm.}$$

$$\leq 3 \times h = 3 \times 80 = 240 \text{ mm} \dots \dots \dots \text{controlled.}$$

$$\leq 450 \text{ mm.} \quad \therefore \text{Select } \emptyset 8 @ 20 \text{ cm in both directions.}$$

4.4.2 Calculation of the total dead load for rib 2.

Table (4-2) : dead load for rib 2.

No.	Material	Quality Density KN/m ³	DL (KN/m)/Rib
1	Topping	25	$0.52 \times 0.08 \times 25 = 1.04$
2	Rib	25	$0.12 \times 0.24 \times 25 = 0.72$
3	Sand	16	$0.52 \times 0.07 \times 16 = 0.582$
4	Mortar	22	$0.52 \times 0.03 \times 22 = 0.343$
5	Tile	23	$0.52 \times 0.03 \times 23 = 0.359$
6	Plaster	22	$0.52 \times 0.03 \times 22 = 0.343$
7	Block	10	$0.40 \times 0.24 \times 10 = 0.96$
		$\sum =$	4.347 KN/m /Rib

Total Dead load = 4.347 KN/m / Rib.

Total live load=5×0.52= 2.6 KN/m / Rib.

Effective Flange width (b_E)

b_E For T- section is the smallest of the following:

$$b_E \leq \frac{1}{2} * \text{clearspase} + b_w = 400 + 120 = 520 \text{ mm} \dots \dots \dots \text{Controlled.}$$

$$\leq \text{Span}/4 = 2850/4 = 712.5 \text{ mm.}$$

$$\leq (16 \times t_f) + b_w = (16 \times 80) + 120 = 1400 \text{ mm.}$$

$$\rightarrow b_E = 520 \text{ mm.}$$

From computer program to analysis rib :-

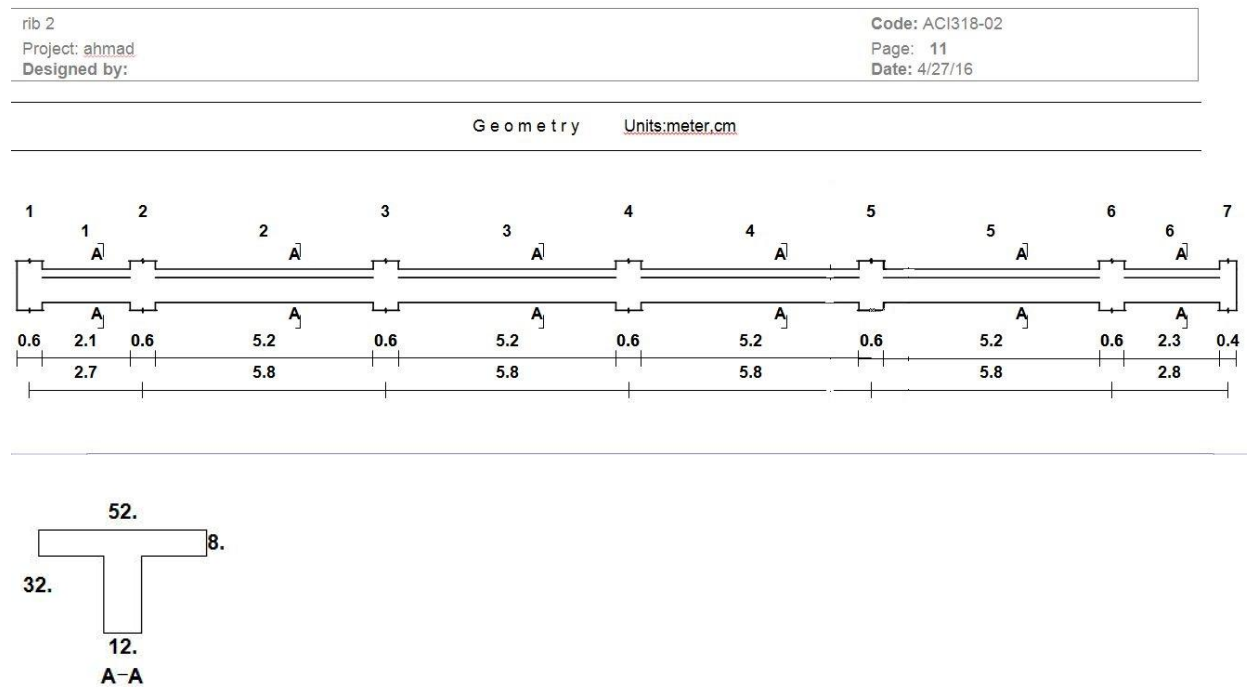


Figure (4-3) : Rib2 Geometry.

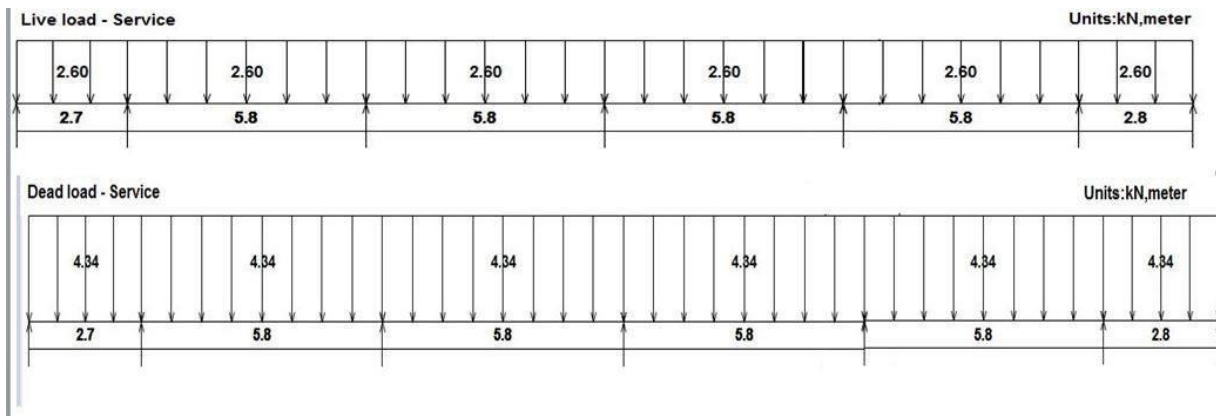


Figure (4-4) : Load for Rib2.

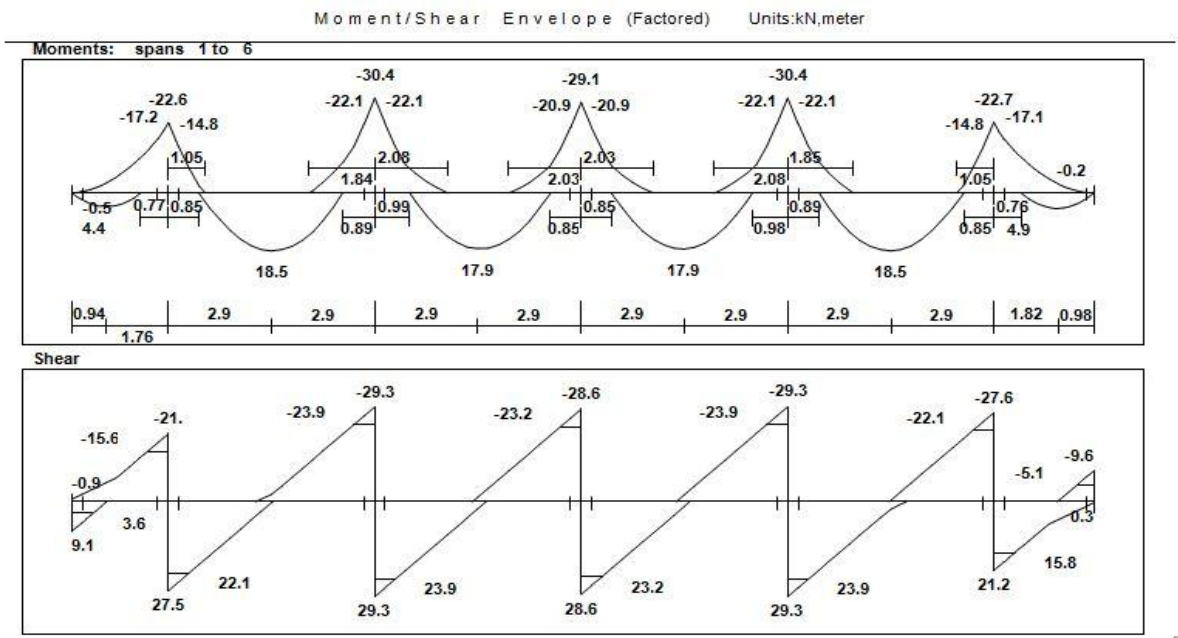


Fig. (4-5): Moment & Shear Envelope of rib2.

rib2 Project: ahmad Designed by:	Code: ACI318-02 Page: 13 Date: 4/27/16						
M o m e n t / S h e a r E n v e l o p e (Factored) Units:kN,meter							
Reactions							
Factored							
DeadR	2.91	25.53	31.28	29.75	31.27	25.67	3.3
LiveR	6.14	23.05	27.4	27.5	27.42	23.11	6.27
Max R	9.06	48.58	58.68	57.25	58.69	48.78	9.58
Min R	-0.91	29.05	42.23	39.71	42.26	29.51	-0.33
Service							
DeadR	2.43	21.27	26.07	24.79	26.06	21.39	2.75
LiveR	3.84	14.41	17.12	17.19	17.14	14.44	3.92
Max R	6.27	35.68	43.19	41.98	43.19	35.83	6.67
Min R	0.04	23.47	32.91	31.02	32.93	23.79	0.48

Fig. (4-6): Factored & service load from rib2 .

- 1- positive moment $Mu^{(+)} = 18.5 \text{ KN.m}$
- 2- Negative moment $Mu^{(-)} = - 22.1 \text{ KN.m}$
- 3- Max shear = 23.9 KN

4.4.3 Design of positive moment $Mu^{(+)} = 18.5 \text{ KN.m}$

for main positive reinforcement $\Phi 12$ Assume bar diameter , stirrups $\Phi 10$

$$d = \text{depth} - \text{cover} - \text{diameter of stirrups} - (\text{diameter of bar}/2)$$

$$= 320 - 20 - 10 - 12/2 = 284 \text{ mm.}$$

Check $a \leq hf$

$$M_{nf} = 0.85 * f_c * b * hf * (d-hf/2) = 215.696 \text{ KN.m} >> Mu/\phi = 20.56 \text{ KN.m}$$

\therefore Assume rectangular& tension control section.

$$m = \frac{f_y}{0.85 f'_c} = \frac{420}{0.85 * 24} = 19.76$$

$$R_n = \frac{M_n}{b * d^2} = \frac{14.6 * 10^6}{0.9 * 520 * 247^2} = 0.49 \text{ MPa}$$

$$\rho = \frac{1}{m} \left(1 - \sqrt{1 - \frac{2 * R_n * m}{f_y}} \right)$$

$$\rho = \frac{1}{19.76} \left(1 - \sqrt{1 - \frac{2 * 0.49 * 19.76}{420}} \right) = 0.00118$$

$$\rightarrow A_{s\text{req}} = \rho \times b \times d = 0.00118 \times 520 \times 284 = 174.26 \text{ mm}^2.$$

$$A_{s\text{min}} = \frac{\sqrt{f'_c}}{4(f_y)} * b_w * d \geq \frac{1.4}{f_y} * b_w * d \quad \text{ACI-318-11 (10.5.9)}$$

$$= \frac{\sqrt{24}}{4 * 420} * 120 * 284 \geq \frac{1.4}{420} * 120 * 284$$

= 101.4 mm² < 113.6 mm² Larger value is control.

$$\rightarrow A_{s\text{min}} = 113.6 \text{ mm}^2 < A_{s\text{req}} = 174.26 \text{ mm}^2.$$

∴ Use 2 Ø12 = 2.26 mm² > A_{sreq} = 174.26 mm² OK.

→ Check for strain:- ($\varepsilon_s \geq 0.005$)

ACI-318-11 (10.3.5)

$$A_s \times f_y = 0.85 \times f'_c \times b \times a$$

$$157 \times 420 = 0.85 \times 25 \times 520 \times a$$

a = 6.22 mm < 80 mm → rectangular section .

$$c = \frac{a}{\beta_1} = \frac{6.22}{0.85} = 7.31 \text{ mm}$$

$$d = 247 \text{ mm}$$

$$\varepsilon_s = \frac{247 - 7.31}{247} * 0.003$$

$$= 0.098 > 0.005 \text{ (tension control section).}$$

∴ Ø = 0.9 OK

∴ Select 2Ø12 For all positive moment.

4.4.4 Design of Negative moment $M_u^{(-)} = 22.1 \text{ KN.m}$

$$m = \frac{f_y}{0.85 f'_c} = \frac{420}{0.85 \times 25} = 19.76$$

$$R_n = \frac{M_n}{b \times d^2} = \frac{9 \times 10^6}{0.9 \times 120 \times 247^2} = 2.537 \text{ MPa}$$

$$\rho = \frac{1}{m} \left(1 - \sqrt{1 - \frac{2 \times R_n \times m}{f_y}} \right)$$

$$= \frac{1}{19.76} \left(1 - \sqrt{1 - \frac{2 \times 2.537 \times 19.76}{420}} \right) = 0.00645$$

$$\rightarrow A_{s\text{req}} = \rho \times b \times d = 0.00645 \times 120 \times 284 = 219.8 \text{ mm}^2.$$

$$\rightarrow A_{s\text{min}} = 113.6 \text{ mm}^2 < A_{s\text{req}} = 219.8 \text{ mm}^2.$$

$$\therefore A_s = 219.8 \text{ mm}^2.$$

$$\emptyset 12 = 226.2 \text{ mm}^2 > A_{s\text{req}} = 219.8 \text{ mm}^2 \dots \text{OK.}$$

\therefore Use 2 $\emptyset 12$

\rightarrow Check for strain:- ($\varepsilon_s \geq 0.005$) ACI-318-11 (10.3.5)

Tension = Compression

$$A_s \times f_y = 0.85 \times f'_c \times b \times a$$

$$226.2 \times 420 = 0.85 \times 25 \times 120 \times a$$

$$a = 38.81 \text{ mm.}$$

$$c = \frac{a}{\beta_1} = \frac{38.81}{0.85} = 45.66 \text{ mm} \quad * \text{ Note: } f'_c = 24 \text{ MPa} < 28 \text{ MPa} \rightarrow \beta_1 = 0.85$$

$$d = 280 - 20 - 8 - 12/2 = 246$$

$$\varepsilon_s = \frac{246 - 45.66}{45.66} * 0.003$$

$$= 0.0132 > 0.005$$

$$\therefore \emptyset = 0.9 \dots \text{OK.}$$

$$\emptyset M_u = 0.9 \times 226.2 \times 420 \times (246 - 38.81/2) \times 10^{-6} = 19.4 \text{ KN.m} > M_{u\text{max}} = 9 \text{ KN.m.}$$

\therefore Select 2 $\emptyset 12$ For all negative moment.

4.4.5 Design of shear of rib (R2)

$d = 284 \text{ mm}$.

$$Vu_{\max} = 23.9 \text{ KN.}$$

$$\begin{aligned} V_c &= 1.1 \times \frac{\sqrt{f'_c}}{6} \times b \times d \\ &= 1.1 \times \frac{\sqrt{25}}{6} \times 120 \times 284 \times 10^{-3} = 31.24 \text{ KN.} \end{aligned}$$

$$\phi V_c = 0.75 \times 31.24 = 23.43 \text{ KN.}$$

$$V_s = \frac{Vu}{\phi} - V_c = \frac{23.9}{0.75} - 31.24 = 0.626 \text{ KN}$$

$$Vs_{min} = \frac{1}{16} \sqrt{25} * 120 * 284 = 10.65 \text{ kN}$$

$$\phi V_c < Vu \leq \phi(V_c + vs_{min})$$

$$23.43 < 23.9 \leq 31.41$$

Case III

Minimum shear reinforcement is provided (A_v, min) with:

$$S_{\max} \leq 600 \text{ mm}, \quad S_{\max} \leq \frac{284}{2} = 142 \text{ mm ... control}$$

Use legs stirrups $\emptyset 8$ with $A_v = 100.53 \text{ mm}^2$

$$\frac{A_v}{s} = \frac{Vs}{fytd} \rightarrow S = \frac{A_v f_y t d}{Vs} = 100.53 * 420 * \frac{284}{10.65}$$

$$S = 1125.9 \text{ mm}$$

\therefore Select $\emptyset 8$ -14cm with 2 -legs

4 . 5 Analysis and Design Beam (B2):

From program :-

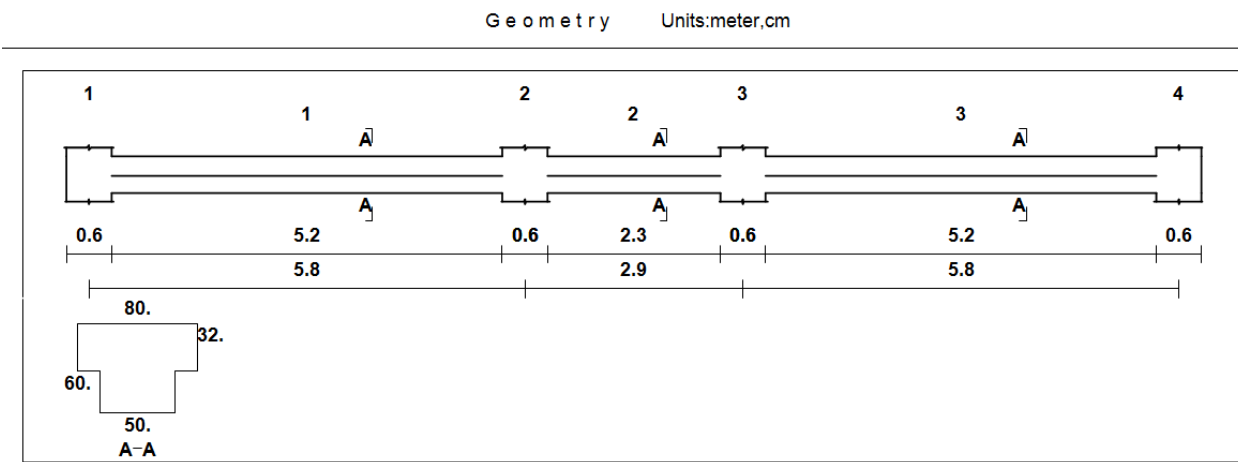


Figure (4-7) : Beam 2 Geometry.

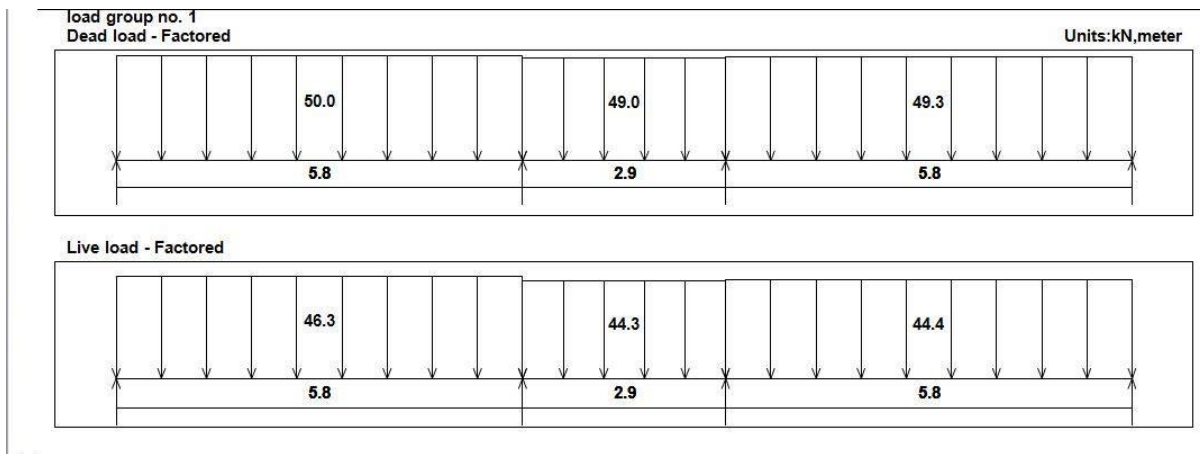


Figure (4-8) : load for Beam2.

rib 1 Project: ahmad Designed by:	Code: ACI318-02 Page: 3 Date: 4/27/16						
M o m e n t / S h e a r E n v e l o p e (Factored) Units:kN,meter							
Reactions							
Factored Beam 2							
DeadR	2.91	25.54	31.25	29.85	30.89	28.05	6.95
LiveR	6.15	23.04	27.38	27.67	27.65	24.61	7.83
Max R	9.05	48.58	58.63	57.52	58.55	52.66	14.79
Min R	-0.92	29.05	42.16	39.75	41.6	35.42	4.67
Service							
DeadR	2.42	21.28	26.04	24.87	25.75	23.38	5.8
LiveR	3.84	14.4	17.11	17.29	17.28	15.38	4.9
Max R	6.27	35.68	43.16	42.17	43.03	38.75	10.69
Min R	0.03	23.48	32.86	31.06	32.44	27.98	4.37

Fig. (4-9) : Factored service load from rib 1.

From rib 1 (Factored)

$$\text{Total WDL} = 1.2 * \left(\frac{21.28}{.52} \right) = 49.3 \text{KN/m}$$

$$\text{WLL} = 1.6 * \left(\frac{14.44}{.52} \right) = 44.43 \text{KN/m}$$

From rib 2 (Factored)

rib 2 Project: ahmad Designed by:	Code: ACI318-02 Page: 13 Date: 4/27/16						
M o m e n t / S h e a r E n v e l o p e (Factored) Units:kN,meter							
Reactions							
Factored Beam 2							
DeadR	2.91	25.53	31.28	29.75	31.27	25.67	3.3
LiveR	6.14	23.05	27.4	27.5	27.42	23.11	6.27
Max R	9.06	48.58	58.68	57.25	58.69	48.78	9.58
Min R	-0.91	29.05	42.23	39.71	42.26	29.51	-0.33
Service							
DeadR	2.43	21.27	26.07	24.79	26.06	21.39	2.75
LiveR	3.84	14.41	17.12	17.19	17.14	14.44	3.92
Max R	6.27	35.68	43.19	41.98	43.19	35.83	6.67
Min R	0.04	23.47	32.91	31.02	32.93	23.79	0.48

Fig. (4-10): Factored service load from rib 2.

$$\text{Total WDL} = 1.2 * \left(\frac{21.27}{.52} \right) = 49.08 \text{ KN/m}$$

$$\text{WLL} = 1.6 * \left(\frac{14.41}{.52} \right) = 44.33 \text{ KN/m}$$

From rib 3 (Factored)

Reactions						
Factored	Beam 2					
DeadR	2.5	26.	31.13	30.13	29.87	14.48
LiveR	8.26	24.1	27.09	27.24	26.04	13.83
Max R	10.76	50.1	58.23	57.36	55.91	28.31
Min R	-3.76	27.25	41.88	40.49	38.81	12.19
Service						
DeadR	2.08	21.67	25.95	25.11	24.9	12.06
LiveR	5.16	15.06	16.93	17.02	16.27	8.64
Max R	7.25	36.73	42.88	42.13	41.17	20.71
Min R	-1.83	22.45	32.66	31.58	30.48	10.63

Fig. (4-11): Factored service load from rib 3.

$$\text{Total WDL} = 1.2 * \left(\frac{21.67}{.52} \right) = 50 \text{ KN/m}$$

$$\text{WLL} = 1.6 * \left(\frac{15.06}{.52} \right) = 46.33 \text{ KN/m}$$

Design of flexure:-

From program :-

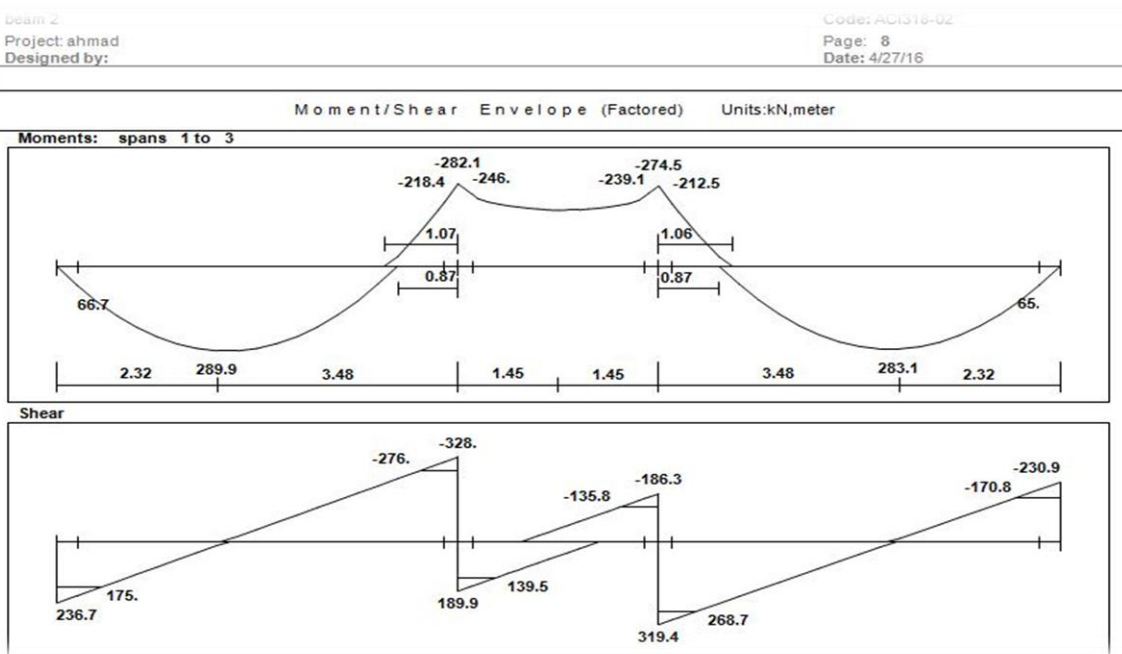


Fig. (4-12): Moment & Shear Envelope of Beam 2.

positive moment $Mu^{(+)} = 290 \text{ KN.m}$

negative moment $Mu^{(-)} = 246 \text{ KN.m}$

$\text{shear}_{\max} = 276 \text{ KN}$

4.5.1 Design of positive moment $Mu^{(+)} = 290 \text{ KN.m}$

Assume $h = 60 \text{ cm}$, $b_E = 80 \text{ cm}$, $t_f = 32 \text{ cm}$ and $b = 50 \text{ cm}$.

for main positive reinforcement $\Phi 16$ Assume bar diameter, stirrups $\Phi 10$

as

$d = \text{depth} - \text{cover} - \text{diameter of stirrups} - (\text{diameter of bar}/2)$

$$= 600 - 40 - 10 - 16/2 = 542 \text{ mm.}$$

Check $a \leq hf$

$$M_{nf} = 0.85 * f_c * b * hf * (d - hf/2) = 1995 \text{ KN.m} >> Mu/\phi = 306.67 \text{ KN.m}$$

\therefore Assume rectangular & tension control section.

$$m = \frac{f_y}{0.85 f'_c} = \frac{420}{0.85 * 24} = 20.58$$

$$R_n = \frac{M_n}{b * d^2} = \frac{290 * 10^6}{0.9 * 800 * 542^2} = 1.37 \text{ Mpa}$$

$$\begin{aligned} \rho &= \frac{1}{m} \left(1 - \sqrt{1 - \frac{2 * R_n * m}{f_y}} \right) \\ &= \frac{1}{20.58} \left(1 - \sqrt{1 - \frac{2 * 20.58 * 1.37}{420}} \right) = 0.00338 . \end{aligned}$$

$$\rightarrow A_{s,\text{req}} = \rho * b * d = 1465 \text{ mm}^2 .$$

$$A_{s,\min} = \frac{\sqrt{f'_c}}{4(f_y)} * b_w * d \geq \frac{1.4}{f_y} * b_w * d \quad \text{ACI-318-11 (10.5.9)}$$

$$= 790 \text{ mm}^2 < 903 \text{ mm}^2$$

$\rightarrow A_{s\min} = 903 \text{ mm}^2 < A_{s\text{req}} = 1465 \text{ mm}^2 \dots \dots \dots \text{control}$

Take $4\phi 25 = 1963 \text{ mm}^2 > A_{s\text{req}} = 1465 \text{ mm}^2 \dots \text{OK.}$

\therefore Use $4\phi 25$ in one layer

$$S_{max} = \frac{500 - 40 * 2 - 10 * 2 - 4 * 25}{3} = 100 \text{ mm} > 25 \text{ mm}$$

\rightarrow Check for strain $\epsilon_s \geq 0.005$) ACI-318-11 (10.3.5)

$$d = 600 - 40 - 10 - (25/2) = 537.5 \text{ mm.}$$

$$A_s \times f_y = 0.85 \times f'_c \times b \times a$$

$$a = 50.5 \text{ mm}$$

$$c = \frac{a}{\beta_1} = \frac{50.5}{0.85} = 59.4 \text{ mm}$$

$$\epsilon_s = 0.024 > 0.005 \text{ (tension control section).}$$

$\therefore \phi = 0.9 \dots \text{OK.}$

4.5.2 Design of negative moment $M_u^{(\cdot)} = 246 \text{ KN.m}$

$$m = \frac{f_y}{0.85 f'_c} = \frac{420}{0.85 * 24} = 20.58$$

$$R_n = \frac{M_n}{b * d^2} = \frac{246 * 10^6}{0.9 * 500 * 542^2} = 1.86 \text{ Mpa}$$

$$\begin{aligned} \rho &= \frac{1}{m} \left(1 - \sqrt{1 - \frac{2 * R_n * m}{f_y}} \right) \\ &= \frac{1}{20.58} \left(1 - \sqrt{1 - \frac{2 * 20.58 * 1.86}{420}} \right) = 0.00465. \end{aligned}$$

$$\rightarrow A_{s\text{req}} = \rho \times b \times d = 1260.46 \text{ mm}^2.$$

$$As_{min} = \frac{\sqrt{f'_c}}{4(f_y)} * b_w * d \geq \frac{1.4}{f_y} * b_w * d \quad ACI-318-11 \text{ (10.5.9)}$$

$$= 790 \text{ mm}^2 < 903 \text{ mm}^2$$

$$\rightarrow As_{min} = 903 \text{ mm}^2 < As_{req} = 1260.46 \text{ mm}^2 \dots \dots \dots \text{control}$$

$$\text{Take } 5\phi 20 = 1570 \text{ mm}^2 > As_{req} = 1260.46 \text{ mm}^2 \dots \text{OK.}$$

\therefore Use $5\phi 20$ in one layer

$$S_{max} = \frac{800 - 40 * 2 - 10 * 2 - 5 * 20}{4} = 150 \text{ mm} > 25 \text{ mm}$$

$$\rightarrow \text{Check for strain } \varepsilon_s \geq 0.005 \quad ACI-318-11 \text{ (10.3.5)}$$

$$d = 600 - 40 - 10 - (20/2) = 540 \text{ mm}.$$

$$A_s \times f_y = 0.85 \times f'_c \times b \times a$$

$$a = 6.46 \text{ mm}$$

$$c = \frac{a}{\beta_1} = \frac{6.46}{0.85} = 7.6 \text{ mm}$$

$$\varepsilon_s = 0.2 > 0.005 \text{ (tension control section).}$$

$$\therefore \phi = 0.9 \dots \text{OK.}$$

4.5.3 Design beam(4) for shear:-

$$\text{shear}_{max} = 276 \text{ KN}$$

$$\begin{aligned} \phi Vc &= \phi \times \frac{\sqrt{f'_c}}{6} \times b_w \times d \\ &= 0.75 \times \frac{\sqrt{24}}{6} \times 500 \times 542 = 166 \text{ KN.} \end{aligned}$$

» Check For dimensions:-

$$V_s = \frac{Vu}{\phi} - V_c = \frac{276}{0.75} - 221 = 147 \text{ KN}$$

$$V_s_{max} = \frac{2}{3} * \sqrt{24} * 500 * 542 = 885 \text{ KN}$$

\therefore Dimension is adequate enough.

Find the max stirrups spacing

$$vs' = \frac{1}{3}\sqrt{24} * 500 * 542 = 442 \text{ kN}$$

$$vs = 147 < vs' = 442 \text{ kN then}$$

$$S_{\max} \leq 600 \text{ mm}, \quad S_{\max} \leq \frac{d}{2} = 271 \text{ mm ... control}$$

Check $V_{S_{\min}}$

$$Av, \min = \frac{1}{3} \frac{bws}{fy t} \dots \text{control}$$

$$Vs_{\min} = \frac{1}{16} \sqrt{24} * 500 * 542 = 83 \text{ kN}$$

$$Vs = 147 > Vs_{\min} = 83$$

Case IV

Use U shape (2 legs stirrups $\emptyset 10$ with $Av = 157 \text{ mm}^2$

$$\frac{Av}{s} = \frac{Vs}{fy t d} \rightarrow s = \frac{Av f y t d}{Vs} = 157 * 420 * \frac{542}{147}$$

$$s = 243 \text{ mm}$$

Take U shape (2 legs stirrups)

$$\emptyset 10 @ 150 \text{ mm} < S_{\max} = 171 \dots \text{OK}$$

4.6 Design of column .

Place of column (C42)

Column	Column Dimensions	f'_c	f_y
Col. 42	40cm*40cm	24Mpa	420Mpa

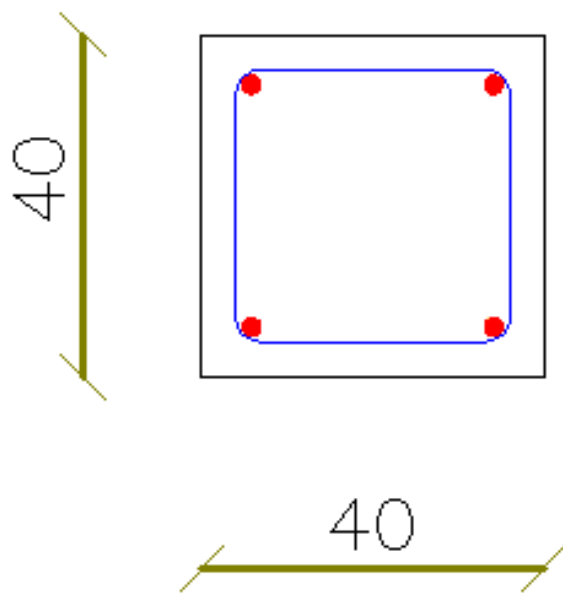


Fig. (4-13): column dimension.

C42 :

$D_l = 1164 \text{ KN}$

$L_l = 800 \text{ KN}$

$P_u = 2676.8 \text{ KN}$

- In ,4 m-Direction (about x axis)

$$\frac{klu}{r} < 34 - 12 \frac{M1}{M2} \quad \dots \dots \dots ACI - (10.12.2)$$

Lu: Actual unsupported (unbraced) length.

K: effective length factor (K= 1 for braced frame).

$$R: \text{radius of gyration} = \sqrt{\frac{I}{A}} \approx 0.3 \text{ h} \quad \dots \dots \dots \text{For rectangular section}$$

$$Lu = 3.4 - 0.6 = 2.8 \text{ m}$$

$$M1/M2 = 1$$

K=1 , According to ACI 318-2002 (10.10.6.3) The effective length factor, k, shall be permitted to be taken as 1.0.

$$\frac{klu}{r} < 34 - 12 \frac{M1}{M2} \quad \dots \dots \dots ACI - (10.12.2)$$

$$\frac{1 \times 2.8}{0.3 \times 0.4} = 23.3 > 22$$

∴ long Column in two direction

$$EI = 0.4 \frac{E I_g}{1 + \beta_d} \quad \dots \dots \dots [ACI 318-05 (Eq. 10-15)]$$

$$E_c = 4700 \sqrt{fc} = 4700 \times \sqrt{24} = 23025 \text{ MPa}$$

$$\beta_d = \frac{1.2DL}{Pu} = \frac{1.2 * (1164)}{2676.8} = 0.5 < 1$$

$$I_g = \frac{b \times h^3}{12} = \frac{.4 \times 0.4^3}{12} = 0.0021 \text{ m}^4$$

$$EI = \frac{0.4 \times 2676.8 \times 0.0021}{1 + 0.5} = 15 \text{ N.m}^2$$

$$P_{cr} = \frac{\pi^2 EI}{(KLu)^2} \quad \dots \dots \dots ACI 318-05 (Eq. 10-13)$$

$$P_c = \frac{3.14^2 \times 15}{(1.0 \times 3.4)^2} = 13 \text{ MN.}$$

$$Cm = 0.6 + 0.4 \left(\frac{M1}{M2} \right) \quad \dots \dots \dots ACI 318-05 (Eq. 10-16)$$

Cm = 1 According to ACI 318-05 (10.10.6.4)

$$\delta_{ns} = \frac{Cm}{1 - \frac{Pu}{0.75P_c}} \geq 1.0 \quad \dots \dots \dots ACI 318-05 (Eq. 10-12)$$

$$\delta_{ns} = \frac{1}{1 - \frac{2676.8}{0.75 \times 12000}} = 1.39 > 1$$

$$e_{\min} = 15 + 0.03 \times h = 15 + 0.03 \times 400 = 27 \text{ mm} = 0.027 \text{ m}$$

$$e = e_{\min} \times \delta_{ns} = 0.027 \times 1.39 = 0.0378 \text{ m}$$

$$\frac{e}{h} = \frac{0.0378}{0.4} = 0.095$$

$$\frac{\gamma}{b} = \frac{\gamma}{h} = \frac{400 - 2 * 40 - 2 * 10 - 25}{400} = 0.68$$

$$\gamma = 0.68$$

✓ From the interaction diagram in chart: $\rho = 0.04$

$$\text{Assume } \rho g = 0.4$$

$$ex = ey = 0.0378 \text{ m}$$

$$\frac{ex}{b} = \frac{ey}{h} = \frac{0.0378}{0.4} = 0.1$$

$$\gamma = .68$$

From the interaction diagram in chart: $\rho = 0.04$

by interpolation :

$$\text{For } \frac{\gamma}{h} = 0.6 \text{ and } \frac{\gamma}{h} = 0.75 \Rightarrow \rho g = 0.04$$

$$\Rightarrow \frac{\phi^* P_{nx}}{Ag} = \frac{\phi^* P_{ny}}{Ag} = 2.60 \text{ KSI}$$

$$P_{nx} = P_{ny} = 2.60 * \frac{1000}{145} * \frac{0.4 * 0.4}{0.65} = 4.4 \text{ MN}$$

✓

✓ Bressler Equation:-

$$\frac{1}{P_n} = \frac{1}{P_{nx}} + \frac{1}{P_{ny}} - \frac{1}{P_o}$$

$$P_o = 0.8 * 400 * 400 * \{0.85 * 24 * (1 - 0.04) + 420 * 0.04\}$$

$$P_o = 4.7 \text{ MN}$$

$$\frac{1}{P_n} = \frac{1}{4.4} + \frac{1}{4.4} - \frac{1}{4.7}$$

$$P_n = 4.1 \text{ MN}$$

$$\phi^* P_n = 0.65 * 4.1 = 2.688 \text{ MN} \geq P_u = 2.6768 \text{ MN}$$

∴ Safe

Select the longitudinal bars:

$$A_s = \rho \times A_g = 0.01 \times 400 * 400 = 6400 \text{ mm}^2$$

$$\therefore \text{use } 14 \varnothing 25 \Rightarrow A_s = 6868 \text{ mm}^2$$

Design of the Stirrups:

The spacing of ties shall not exceed the smallest of:-

$$\text{spacing} \leq 16 \times d_b = 16 \times 1.6 = 25.6 \text{ cm}$$

$$\text{spacing} \leq 48 \times d_s = 48 \times 1.0 = 48 \text{ cm}$$

$$\text{spacing} \leq \text{least.dim.} = 30 \text{ cm}$$

Use $\varnothing 10 @ 20\text{cm}$

4.7 Design of Isolated Footing :

→ **Design of Isolated footing (Under Col. 26):**

f_c'	f_y
24 MPa	420 MPa

Load Calculation:-

- From column (26): (DL & LL)
- * Service dead load (DL) = 1120 KN
- * Service live load (LL) = 356 KN
- * Column dimensions = 60 cm * 40 cm
- * Allowable soil pressure = 400 KN/ m²

DL (KN)	LL (KN)	Column dimensions	all. Soil pressure
1120	356	(60*40) cm	400 KN/ m ²

4.7.1 Calculating the weight of footing:

- Weight of footing (assume height of footing = 60cm)

$$\text{Weight of footing} = 0.6 * 25 = 15 \text{ KN/m}^2$$

- Required sizes of footing:

$$A_{\text{required}} = \frac{P_n}{q_{\text{net}}} = \frac{1120 + 356}{400 - 5 - (0.6 * 25)} = 3.9 \text{ m}^2$$

$$\text{Try } 2 * 2 \text{ Area} = 4 \text{ m}^2$$

h_{footing}	w_{footing}	q_{net}	A_{required}
60 cm	15 KN/m ²	400 KN/m ²	3.9m ²

4.7.2 Depth of footing and shear design:

$$P_u = 1.2 \text{DL} + 1.6 \text{LL} = 1.2 * 1120 + 1.6 * 356 = 1914 \text{ KN}$$

$$qu = \frac{1914}{4} = 478.5 \text{ KN/m}^2$$

Try area	P_u	qu
2m * 2m	1914 KN	478.5 KN/m ²

→Determine the Depth of Footing Based on Shear Strength:-

Check for One Way Shear Strength

$$Vu = \left(\frac{l}{2} - \frac{a}{2} - d \right) * qu * b = \left(\frac{2}{2} - \frac{0.40}{2} - d \right) * 478.5 * 2 = 282.3$$

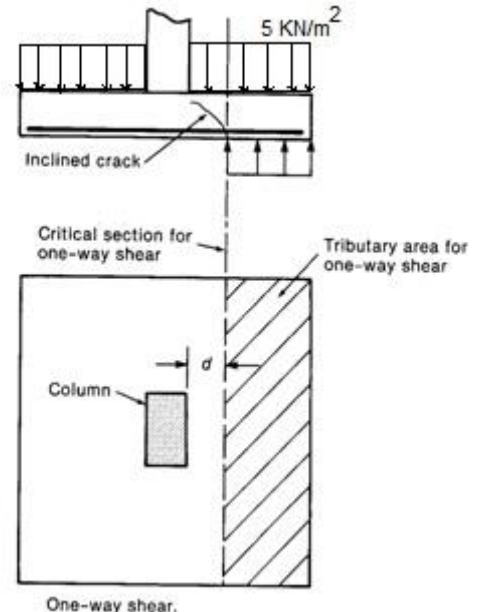
$$\phi Vc = \frac{0.75}{6} \sqrt{24} * 2 * d * 10^3 = 618$$

$$\text{Let, } \phi Vc = Vu$$

$$d = 0.35 \text{ m}$$

$$h = 351 + 75 + 20 = 446 \text{ mm}$$

$$\text{Try } h = 450 \text{ mm} \dots d = 450 - 75 - 20 = 355 \text{ mm}$$



Φ	d (mm)	h (mm)	Try h(mm)	Try d (mm)
0.75	351	446	450	355

3.7.3 for Two Way shear Action (Punching).

- The punching shear strength is the smallest value of the following equations:

$$\phi V_c = \phi \cdot \frac{1}{6} \left(1 + \frac{2}{\beta_c} \right) \sqrt{f'_c} b_o d$$

$$\phi V_c = \phi \cdot \frac{1}{12} \left(\frac{\alpha_s}{b_o/d} + 2 \right) \sqrt{f'_c} b_o d$$

$$\phi V_c = \phi \cdot \frac{1}{3} \sqrt{f'_c} b_o d$$

Where:

$$\beta_c = \frac{\text{Column Length (a)}}{\text{Column Width (b)}} = \frac{600}{400} = 1.5$$

b_o = Perimeter of critical section taken at (d/2) from the loaded area

$$= 2 * (0.40 + 0.355) + 2 * (0.6 + 0.355) = 3.42 \text{ m.}$$

$$Vu = ((2 * 2) - ((0.40 + 0.355) * (0.60 + 0.355)) * 478.5 = 1569 \text{ kN}$$

$$\alpha_s = 40 \dots \dots$$

$$\phi.V_c = \phi \cdot \frac{1}{6} \left(1 + \frac{2}{\beta_c} \right) \sqrt{f'_c} b_o d = \frac{0.75}{6} * \left(1 + \frac{2}{1.5} \right) * \sqrt{24} * 3.42 * 0.355 * 10^3 = 1734.8 kN$$

$$\phi.V_c = \phi \cdot \frac{1}{12} \left(\frac{\alpha_s}{b_o/d} + 2 \right) \sqrt{f'_c} b_o d = \frac{0.75}{12} * \left(\frac{40 * 0.355}{3.42} + 2 \right) * \sqrt{24} * 3.42 * 0.355 * 10^3 = 2287 kN$$

$$\phi.V_c = \phi \cdot \frac{1}{3} \sqrt{f'_c} b_o d = \frac{0.75}{3} * \sqrt{24} * 3.42 * 0.355 * 10^3 = 1487 kN$$

$V_u = 1569 \text{ KN} > \Phi V_c = 1487 \text{ KN}$ Not OK

β_c	b_o (m)	α_s	$\phi.V_c$ (KN)
1.5	3.42	40	1487

Try $h = 500 \text{ mm}$. $d = 500 - 75 - 20 = 405 \text{ mm}$

$$b_o = 3.62 \text{ m}$$

$$V_u = ((2 * 2) - ((0.6 + 0.405) * (0.4 + 0.405)) * 478.5 = 1526.9 kN$$

$$\phi.V_c = \phi \cdot \frac{1}{3} \sqrt{f'_c} b_o d = \frac{0.75}{3} * \sqrt{24} * 3.42 * 0.405 * 10^3 = 1696.4 kN$$

.... Control

$$V_u = 1526.9 \text{ KN} < \Phi V_c = 1696.4 \text{ KN}$$

(Two Way Shear is OK)

h (mm)	d (mm)	b_o (m)	V_u (KN)	$\phi.V_c$ (KN)
500	405	3.62	1526.9	1696.4

4.7.4 Design for Bending Moment of both direction.

h (mm)	d (mm)	b (m)
500	405	2

$$d = 500 - 75 - 20 = 405 \text{ mm}$$

$$Mu = 478.5 * 2 * 0.8 * 0.8 / 2 = 306.24 \text{ KN.m}$$

$$m = \frac{f_y}{0.85 * f_{c'}} = \frac{420}{0.85 * 24} = 20.59$$

$$R_n = \frac{Mu/\phi}{b * d^2} = \frac{306.24 * 10^{-3} / 0.9}{2 * (0.405)^2} = 1.037 \text{ Mpa}$$

$$\rho = \frac{1}{m} \left(1 - \sqrt{1 - \frac{2mR_n}{f_y}} \right)$$

$$\rho = \frac{1}{20.59} \left(1 - \sqrt{1 - \frac{2(20.59)(1.037)}{420}} \right) = 0.00253$$

$$As_{req} = 0.002535 (2000) (405) = 2053.5 \text{ mm}^2 > As_{min} = 1800 \text{ mm}^2 \dots \text{control}$$

$$As_{min} = 0.0018 * b * h = 0.0018 (2000) (500) = 1800 \text{ mm}^2 \dots$$

Take 14Φ 14 , As,provided = 21.55cm² > As,required = 20.53 cm²

$$S = \frac{2000 - 75 * 2 - 14 * 14}{13} = 127.23 \text{ mm}$$

- Step(S) is smallest of:

$$1. 3h = 3 * 500 = 1500 \text{ mm}$$

2. 450 mm - control

$$S = 128 \text{ mm} < S_{max} = 450 \text{ mm} - \text{OK}$$

Mu (KN.m)	m	Rn (Mpa)	ρ	As _{req} (mm ²)	As _{min} (mm ²)	S (mm)
306.24	20.59	1.037	0.002535	2053.5	1800	128

- Check strain

Tension = Compression

$$A_s \times f_y = 0.85 \times f_c' \times b \times a$$

$$2054 \times 420 = 0.85 \times 24 \times 2000 \times a$$

$$a = 21.15 \text{ mm}$$

$$c = \frac{21.15}{0.85} = 24.88$$

$$\varepsilon_s = \frac{405 - 24.88}{24.88} \times 0.003 = 0.0458 > 0.005 \dots ok$$

As (mm ²)	a (mm)	c (mm)	ε_s
2054	21.15	24.88	0.046

3.7.5 Development length of flexural reinforcement:

Ld for Φ 14:

$$L_d = \frac{12}{25} \times \frac{f_y}{\sqrt{f_{c'}}} \times \frac{\psi t \times \psi e}{\lambda} \times db = \frac{12}{25} \times \frac{420}{\sqrt{24}} \times \frac{1 \times 1}{1} \times 14 = 576.2 \text{ mm}$$

Available length = 800 - 75 = 725

725 mm > 576.2 mm ok

→ Load transfer at the column-foundation interface (Dowels design):

- In footing :

$$\Phi P_{nb} = \Phi(0.85 f_{c'} A_1 \times \sqrt{\frac{A_2}{A_1}})$$

$$A_1 = 0.60 * 0.40 = 0.24 \text{ m}^2$$

$$A_2 = 2 * 2 = 4 \text{ m}^2$$

$$\sqrt{\frac{A_2}{A_1}} = \sqrt{\frac{4}{0.24}} = 4.1 > 2 \quad \dots \quad \sqrt{\frac{A_2}{A_1}} = 4.1$$

$$\Phi P_{nb} = 0.65 \times 0.85 \times 24 \times 600 \times 400 \times 2 = 6364.8 \text{ KN}$$

$$\Phi P_n = 6364.8 > P_u = 1914 \dots \text{ok}$$

The Dowels are not needed for footing

$$A_{s,\min} = 0.005 * A_c = 0.005 * 600 * 400 = 1200 \text{ mm}^2$$

Use 12Φ 16 , $A_{s,\text{provided}} = 2412.8 \text{ mm}^2 > A_{s,\text{required}} = 1200 \text{ mm}^2$

The same number and size of reinforcement column

4.8 Design of Stair :

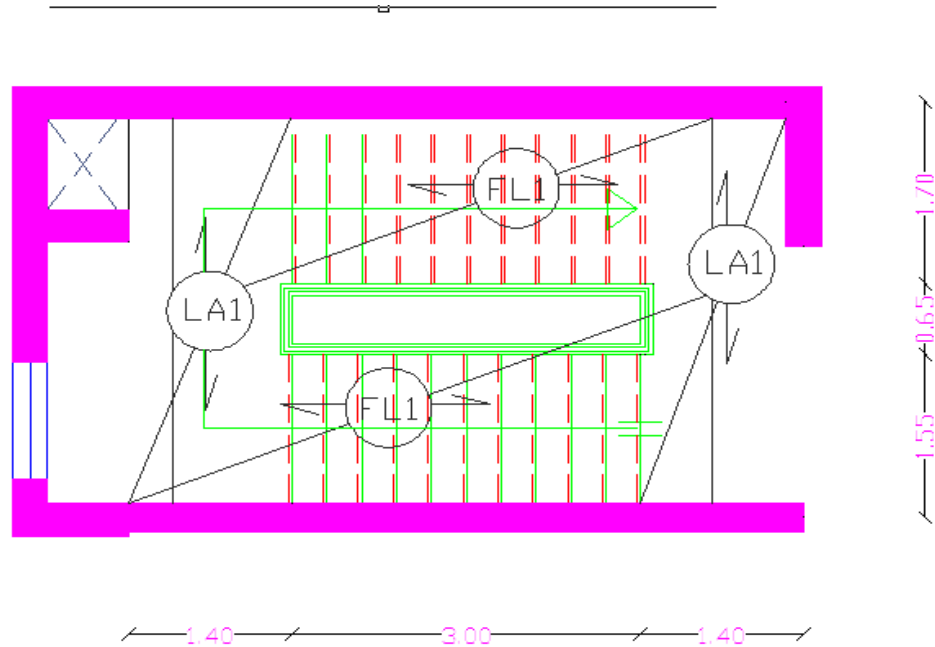


Fig. (4-14): stair.

3.8.1 Determination of Thickness:

height = 3.75 m

$$\text{Rise} = 3.75/22 = 17 \text{ cm}$$

Heigh m	Rise cm	Run cm	LL KN/m ²	f' Mpa	Fy Mpa
3.75	17	30	5	24	420

- Minimum slab thickness for deflection is (for simply supported one way solid slab)

$$h_{\min} = L/20$$

$$h_{\min} = 5.8 / 20 = 290 \text{ cm} \dots \dots \dots \text{take } h = 25 \text{ cm.}$$

⇒ Use $h = 25 \text{ cm.}$

$$\theta = \tan^{-1}(17 / 30) = 30^\circ$$

h,min (cm)	θ
25	30°

3.8.2 Load Calculations:

Dead load calculation of Flight:

$$\text{Plaster} = \frac{0.03 \times 22}{\cos 30} = 0.762 \text{ KN/m}$$

$$\text{concrete} = \frac{0.25 \times 25}{\cos 30} = 7.217 \text{ KN/m}$$

$$\text{mortar} = \frac{0.3 + 0.170}{0.3} 0.02 \times 22 = 0.689 \text{ KN/m}$$

$$\text{stair} = \frac{0.3 \times 0.170}{0.3 \times 2} 25 = 2.125 \text{ KN/m}$$

$$\text{Tile} = \frac{0.35 + 0.170}{0.3} 0.03 \times 27 = 1.269 \text{ KN/m}$$

$$\text{Total load (DL)} = 12.1 \text{ KN/m}$$

$$\text{Live load (LL)} = 5 \text{ KN/m}$$

Table (4-3) : load calculation for stair.

material	gama	h(m)	b(m)	KN/m
Tiles	22	0.03	1	0.66
Mortar	22	0.02	1	0.44
R C	25	0.25	1	6.25
Plaster	22	0.03	1	0.66
Total load (DL)				8.01
Live load (LL) = 5 KN/m2				

Total Factored load,,, (W = 1.2DL + 1.6LL)

$$\text{For } W_{flight}, \quad W = 1.2 * 12.1 + 1.6 * 5 = 22.52 \text{ KN/m}$$

$$\text{For } W_{landing}, \quad W = 1.2 * 8.01 + 1.6 * 5 = 17.6 \text{ KN/m}$$

W_{flight} (KN/m)	$W_{landing}$ (KN/m)
22.52	17.6

- Structural System Of Flight (FL1) :

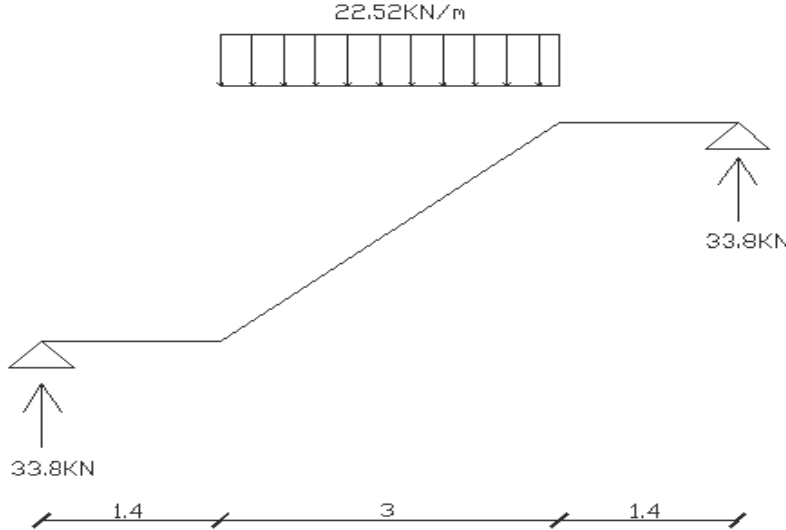


Fig. (4-15): structural system of flight Fl1.

4.8.3 Check for shear strength For Flight:

Assume Ø 14 for main reinforcement:-

$$d = h - 20 - db/2 = 250 - 20 - 14/2 = 223 \text{ mm}$$

$$Vu = 33.8 \text{ KN} .$$

$$\phi Vc = \frac{0.75 * \sqrt{24} * 1000 * 223}{6} = 136.56 \text{ KN / m}$$

$$Vu = 33.8 \text{ KN} < 0.5 * \phi Vc = 68.28 \text{ KN} .$$

Thickness is adequate enough

db (mm)	H (mm)	d (mm)	Vu (KN)	ϕVc (KN)
Ø 14	250	223	33.8	136.56

3.8.4 Design of Flexure:

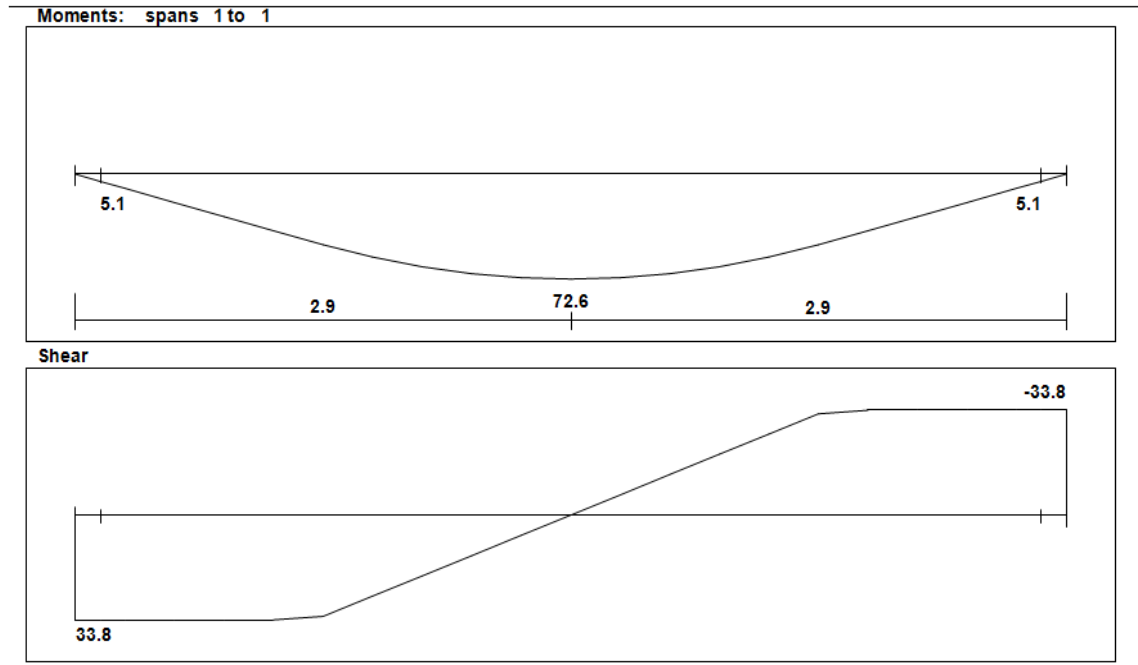


Fig. (4-16): envelope shear and moment diagram flight.

- Design for Flight:

$$Mu = 72.6 \text{ KN.m}$$

$$Mn = Mu / 0.9 = 72.6 / 0.9 = 80.7 \text{ KN.m/m}$$

$$d = h - 20 - db/2 = 250 - 20 - 14/2 = 223 \text{ mm}$$

$$R_n = \frac{Mn}{b \cdot d^2}$$

$$R_n = \frac{80.7 \times 10^6}{1000 \times 223^2} = 1.62 \text{ MPa}$$

$$m = \frac{f_y}{0.85 \times f_{c'}}$$

$$m = \frac{420}{0.85 \times 24} = 19.76$$

$$\rho = \frac{1}{m} \left(1 - \sqrt{1 - \frac{2 \cdot R_n \cdot m}{f_y}} \right) = \frac{1}{19.76} \left(1 - \sqrt{1 - \frac{2 \cdot 1.62 \cdot 19.76}{420}} \right) = 0.004$$

$$As_{req} = 0.004 * 1000 * 223 = 892 \text{ mm}^2/\text{m} > As_{min} = 450 \text{ mm}^2/\text{m} \dots \text{OK}$$

$$As_{min} = 0.0018 * b * h = 0.0018 * 1000 * 250 = 450 \text{ mm}^2/\text{m}$$

Mu (KN.m)	m	Rn Mpa	ρ	As_{req} (mm^2)	As_{min} (mm^2)	S (mm)
72.6	19.76	1.62	0.004	892	450	200

Use **Φ 14 @ 15 cm c/c**, $As = 1026 \text{ mm}^2/\text{m}$ strip

- Step (s) is the smallest of :-

$$1. 3*h = 3* 250 = 750 \text{ mm}$$

$$2. 450 \text{ mm}$$

$$\leq 380 \left(\frac{280}{f_s} \right) - 2.5 * C_c$$

$$\leq 380 * \left(\frac{280}{\frac{2}{3} f_y} \right) - 2.5 * 20 = 380 * \left(\frac{280}{\frac{2}{3} * 420} \right) - 2.5 * 20 = 330 \text{ mm}$$

$$\leq 300 \left(\frac{280}{f_s} \right) = 300 * \left(\frac{280}{\frac{2}{3} f_y} \right) = 300 * \left(\frac{280}{\frac{2}{3} * 420} \right) = 300 \text{ mm} \dots (\text{control})$$

- Check for strain:

Tension = Compression

$$A_s * f_y = 0.85 * f'_c * b * a$$

$$1026 * 420 = 0.85 * 24 * 1000 * a$$

$$a = 21.12 \text{ mm}.$$

$$c = \frac{a}{\beta_1} = \frac{21.12}{0.85} = 24.85 \text{ mm}$$

$$d = 223 \text{ mm}$$

$$\epsilon_s = \frac{223 - 24.85}{24.85} * 0.003 = 0.0239 > 0.005 \text{ (tension control section).}$$

$$\therefore \phi = 0.9 \dots \text{OK}$$

→Temperature & Shrinkage reinforcement:

$$As_{Shrinkage} = 0.0018 \times b \times h = 0.0018 \times 1000 \times 250 = 450 \text{ mm}^2/\text{m}$$

Use $\Phi 10$ @ 15 cm c/c, $As_{prov} = 523.33 \text{ mm}^2/\text{m}$ strip

- Step (s) is the smallest of :-

$$1. 5*h = 5* 250 = 1250 \text{ mm}$$

2. 450 mm – control

$As_{Shrinkage}$ (mm^2)	S (mm)	d_b (mm)
450	150	$\Phi 10$

$$WRA = 33.8 \text{ KN/m} , \quad WRB = 33.8 \text{ KN/m} \quad \text{From Atir}$$

$$\text{Load For Landing} = \frac{WRA}{L} = \frac{33.8}{1.4} = 24.14 \text{ KN/m}$$

- Design for landing (L1A):

Structural System Of Landing (L1A)

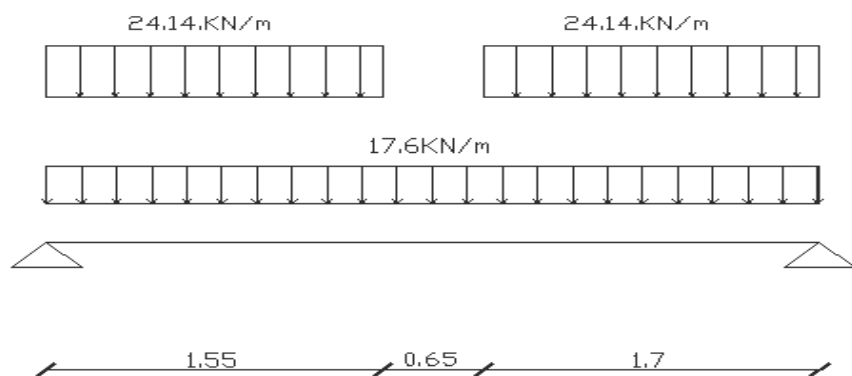


Fig. (4-17): structure system of landing.

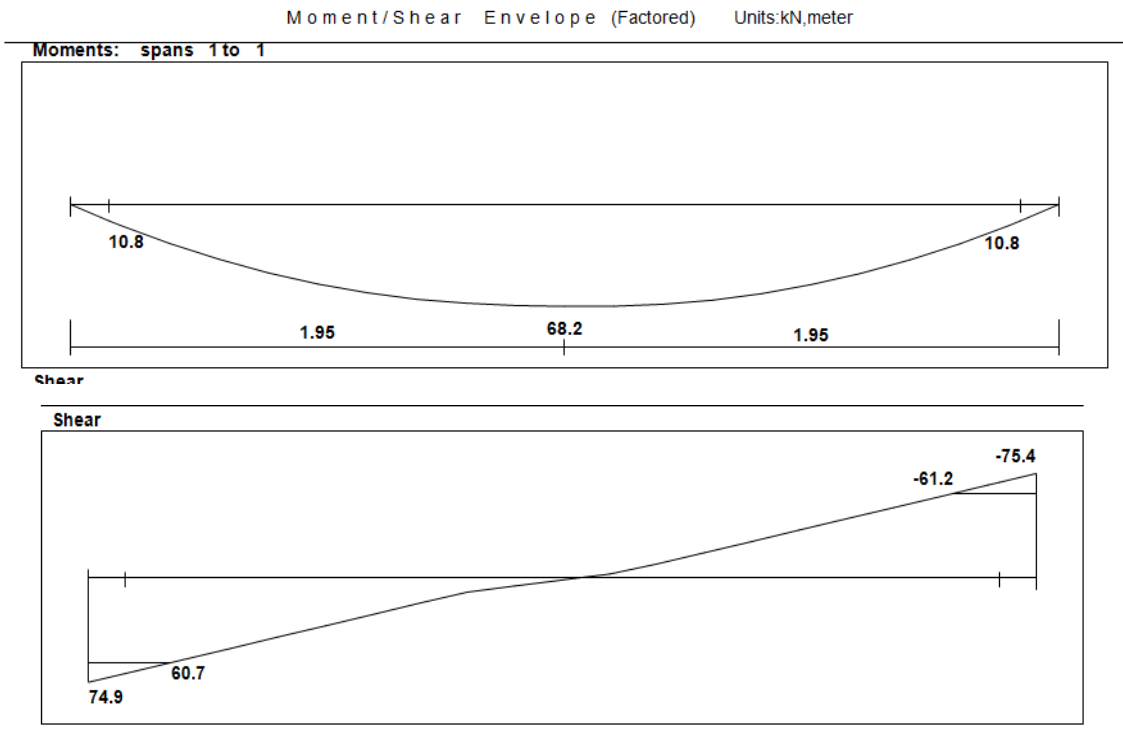


Fig. (4-18): envelope shear and moment diagram landing.

$$V_u = 61.2 \text{ KN/m}$$

- Check for shear strength (L1A):

Assume $\bar{\phi} 12$ for main reinforcement:-

$$d = h - 20 - db/2 = 250 - 20 - 14/2 = 223 \text{ mm}$$

$$\phi V_c = \frac{0.75 * \sqrt{24} * 1000 * 223}{6} = 136.56 \text{ KN / m}$$

$$V_u = 61.2 \text{ KN / m} < 0.5 * \phi V_c = 68.28 \text{ KN/m} .$$

- Thickness is adequate enough

- Calculate the maximum bending moment:

$$M_u = 68.2 \text{ kN.m/m}$$

$$M_n = M_u / 0.9 = 68.2 / 0.9 = 75.8 \text{ KN.m/m}$$

$$d = h - 20 - db/2 = 250 - 20 - 14/2 = 223 \text{ mm}$$

$$R_n = \frac{M_n}{b \cdot d^2}$$

$$R_n = \frac{75.8*10^6}{1000*223^2} = 1.52 \text{ MPa}$$

$$m = \frac{f_y}{0.85 \times f_c'}$$

$$m = \frac{420}{0.85*24} = 19.76$$

$$\rho = \frac{1}{m} \left(1 - \sqrt{1 - \frac{2*R_n*m}{f_y}} \right) = \frac{1}{19.76} \left(1 - \sqrt{1 - \frac{2*1.52*19.76}{420}} \right) = 0.00375$$

$$As_{req} = 0.00375 * 1000 * 223 = 836.25 \text{ mm}^2/\text{m} > As_{min} = 450 \text{ mm}^2/\text{m} \dots \text{OK}$$

$$As_{min} = 0.0018 * b * h = 0.0018 * 1000 * 250 = 450 \text{ mm}^2/\text{m}$$

Use Φ 14@ 15 cm

Mu (KN.m)	m	Rn Mpa	ρ	As _{req} (mm ²)	As _{min} (mm ²)	S(mm)
68.2	16.76	1.52	0.00375	836.25	450	150

- Step (s) is the smallest of :-

$$1. 3*h = 3*250 = 750 \text{ mm}$$

$$2. 450 \text{ mm}$$

$$\leq 380 \left(\frac{280}{f_s} \right) - 2.5 * C_c$$

$$\leq 380 * \left(\frac{280}{\frac{2}{3}f_y} \right) - 2.5 * 20 = 380 * \left(\frac{280}{\frac{2}{3} * 420} \right) - 2.5 * 20 = 330 \text{ mm}$$

$$\leq 300 \left(\frac{280}{f_s} \right) = 300 * \left(\frac{280}{\frac{2}{3}f_y} \right) = 300 * \left(\frac{280}{\frac{2}{3} * 420} \right) = 300 \text{ mm (control)}$$

- Check for strain:

$$\text{Tension} = \text{Compression}$$

$$\text{Tension} = \text{Compression}$$

$$A_s \times f_y = 0.85 \times f'_c \times b \times a$$

$$1026 \times 420 = 0.85 \times 24 \times 1000 \times a$$

$$a = 21.12 \text{ mm}.$$

$$c = \frac{a}{\beta_1} = \frac{21.12}{0.85} = 24.85 \text{ mm}$$

$d = 223 \text{ mm}$

$$\varepsilon_s = \frac{223 - 24.85}{24.85} * 0.003 = 0.0239 > 0.005 \text{ (tension control section).}$$

$\therefore \emptyset = 0.9 \dots \text{OK}$

→Temperature & Shrinkage reinforcement:

$$As_{Shrinkage} = 0.0018 \times b \times h = 0.0018 \times 1000 \times 250 = 450 \text{ mm}^2/\text{m}$$

Use $\Phi 10 @ 15 \text{ cm c/c}$, As prov = $523.33 \text{ mm}^2/\text{m}$ strip

- Step (s) is the smallest of :-

$$1. 5*h = 5*250 = 1250 \text{ mm}$$

2. $450 \text{ mm} - \text{control}$

$As_{Shrinkage} (\text{mm}^2)$	S(mm)	$d_b (\text{mm})$
450	150	$\Phi 10$

4.9 Design of Shear wall :

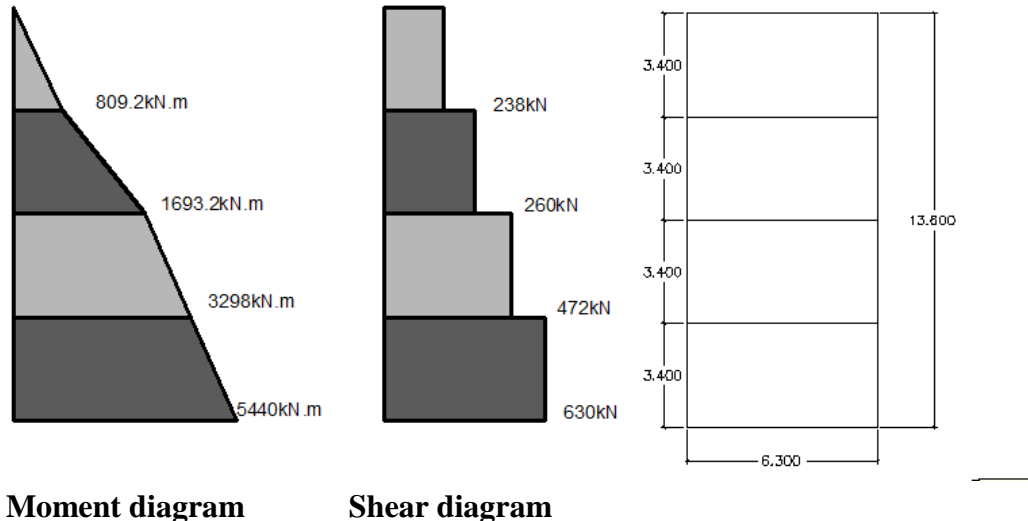


Fig. (4-19): shear and moment diagram of shear wall.

❖ Material and Sections:- (From Shear Wall)

⇒ concrete B300 $F_c' = 24 \text{ N/mm}^2$

⇒ Reinforcement Steel $F_y = 420 \text{ N/mm}^2$

⇒ Shear Wall Thickness $h = 30 \text{ cm}$

⇒ Shear Wall Width $L_w = 6.3 \text{ m}$

⇒ Shear Wall Height $H_w = 13.6 \text{ m}$

4.9.1 Design of Horizontal Reinforcement:-

$$\sum F_x = V_u = 630 \text{ KN}$$

The critical Section is the smaller of :

$$\frac{lw}{2} = \frac{6.3}{2} = 3.15 \text{ m}$$

$$\frac{hw}{2} = \frac{13.6}{2} = 6.8 \text{ m}$$

Story height (Hw) = 3.4 m

$$d = 0.8 \times Lw = 0.8 \times 6.3 = 5.04 \text{ m}$$

$$\begin{aligned}\phi V_{nmax} &= \phi \frac{5}{6} \sqrt{f_c'} hd \\ &= 0.75 * 0.83 * \sqrt{24} * 300 * 5040 = 4611 \text{ KN} > V_u = 630 \text{ KN}\end{aligned}$$

V_c is the smallest of :

$$1 - V_c = \frac{1}{6} \sqrt{f_c'} hd = \frac{1}{6} \sqrt{24} * 300 * 5040 = 1234.5 \text{ KN} \quad \dots \dots \text{Control}$$

$$2 - V_c = 0.27 \sqrt{f_c'} hd + \frac{N_u d}{4l_w} = 0.27 \sqrt{24} * 300 * 5040 + 0 = 2000 \text{ KN}$$

$$3 - V_c = \left[0.05 \sqrt{f_c} + \frac{l_w (0.1 \sqrt{f_c} + 0.2 \frac{N_u}{l_w h})}{\frac{M_u}{V_u} - \frac{l_w}{2}} \right] hd = 3879.06$$

$$\frac{5440 - 3298}{3.4} = \frac{M_u - 3298}{3.4 - 3.15} \Rightarrow M_u = 3455.5 \text{ KN.}$$

$$\frac{M_u}{V_u} - \frac{l_w}{2} = \frac{3455.5}{630} - \frac{8.3}{2} = 1.33$$

$V_u = 630 \text{ KN} < 0.5 * 0.75 * 1234.5 = 462.9 \text{ KN}$ need reinforcement

Take $\rho = 0.0025$

- Maximum spacing is the least of :

$$\frac{Lw}{5} = \frac{6300}{5} = 1260 \text{ mm}$$

$$3 * h = 3 * 300 = 900 \text{ mm}$$

450 mm Control

Try $\phi 10$ ($A_s = 78.5 \text{ mm}^2$) for two layers

$$\rho = \frac{Avh}{h * S2} = \frac{2 * 78.5}{300 * 52} = 0.0025$$

$S2 = 210 \text{ mm}$, $\phi 10 @ 250 \text{ mm}$

→ use $\phi 10 @ 250 \text{ mm}$ in tow layer

4.9.2 Design for Vertical reinforcement:-

$$\frac{hw}{lw} = \frac{13.6}{6.3} = 2.16$$

$$Avv = \left[0.0025 + 0.5 \left(2.5 - \frac{h_w}{lw} \right) \left(\frac{Av h}{S h} - 0.0025 \right) \right] * S * h$$

$$\frac{Avv}{S} = 0.73$$

Assume Φ 12 with As=113.1

$$\frac{2*113.1}{S} = 0.73 >> S = 290 \text{ mm}$$

Select Φ 12@250mm. In two layer

- Maximum spacing is the least of :

$$\frac{Lw}{5} = \frac{6300}{5} = 1260 \text{ mm}$$

$$3*h = 3*300 = 900 \text{ mm}$$

450 mm Control

Select Φ 12 @250mm In tow layer

4.9.3 Design of bending moment (uniformly distribution flexural reinforcement) :

$$A_{st} = \left(\frac{6300}{250} \right) * 2 * 113.1 = 5700.24 \text{ mm}^2$$

$$w = \left(\frac{A_{st}}{L_w h} \right) \frac{f_y}{f_c'} = \left(\frac{5700.24}{6300 * 300} \right) \frac{420}{24} = 0.05278$$

$$\alpha = \frac{P_u}{l_w h f_c'} = 0$$

$$\frac{C}{l_w} = \frac{w + \alpha}{2w + 0.85\beta_1} = \frac{0.05278 + 0}{2 * 0.05278 + 0.85 * 0.85} = 0.0637$$

$$\emptyset M_n = \emptyset \left[0.5 A_{st} f_y l_w \left(1 + \frac{P_u}{A_{st} f_y} \right) \left(1 - \frac{c}{l_w} \right) \right]$$

$$= 0.9 [0.5 * 5700.24 * 420 * 6300 (1 + 0) (1 - 0.0637)] = 6354.92 \text{ KN.m} > M_u$$

Select Φ 12@250mm for vertical reinforcement .

4.9 Design of Basement wall :

4.9.1 load calculation

$F_c' = 28 \text{ MPa}$, $F_y = 420 \text{ MPa}$, $\gamma_s = 18 \text{ KN/m}^3$, $q_{all} = 350 \text{ KN/m}^2$, $\phi = 30^\circ$,
surcharge = 5 KN/m^2 , wall thickness = 30 cm

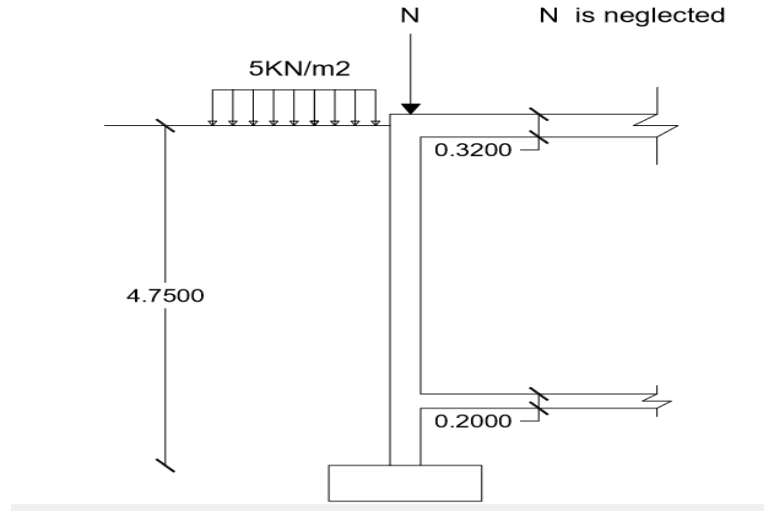


Fig. (4-20): basement wall.

$$K = 1 - \sin \phi = 1 - \sin 30 = 0.5$$

$$W_s = K * h * \gamma = 0.5 * 4.75 * 18 = 42.75 \text{ KN/m}^2$$

$$W_{su} = K * P = 0.5 * 5 = 2.5 \text{ KN/m}^2$$

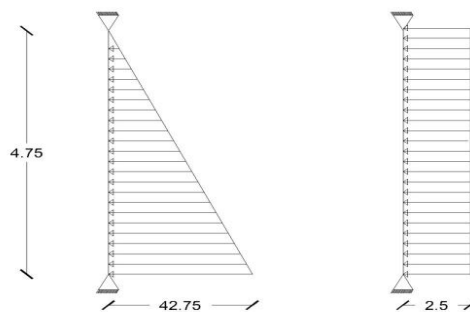


Fig. (4-21): load for basement wall.

From Atir we have moment and shear envelop :

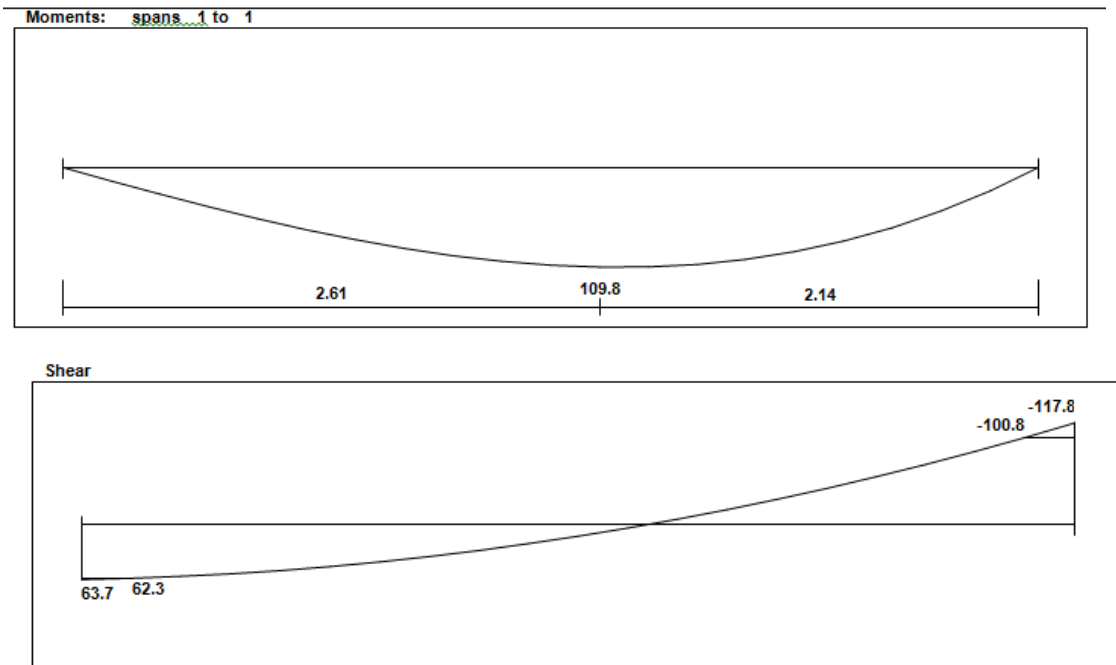


Fig. (4-22): shear and moment diagram of basement wall.

4.9.2 Design of Bending Moment

1- Tension face :-

$$d = 300 - 20 - 14 = 266 \text{ mm}$$

$$R_n = \frac{Mn}{b \cdot d^2}$$

$$R_n = \frac{109.8 * 10^6}{0.9 * 1000 * 266^2} = 1.7 \text{ MPa} .$$

$$m = \frac{f_y}{0.85 \times f_c'}$$

$$m = \frac{420}{0.85 \times 24} = 20.6$$

$$\rho = \frac{1}{m} \left(1 - \sqrt{1 - \frac{2mR_n}{f_y}} \right) = \frac{1}{20.6} \left(1 - \sqrt{1 - \frac{2 * 20.6 * 1.7}{420}} \right) = 0.42\%$$

$$\text{As req} = 0.42 \% * 1000 * 266 = 1117 \text{ mm}^2/\text{m} \dots \dots \dots \text{control}$$

$$A_s \text{ min} = 0.0012 * 1000 * 300 = 360$$

As req = 1117 > As min = 360

Use $\Phi 16$ @ 15 cm

2- Compression face :-

As min = 360 mm²/m , Use $\Phi 10$ @ 20 cm

3- horizontal bars use the half of the min. in each side

$$0.5 * A_{sh\min} = 0.5 * 0.002 * 300 * 1000 = 300 \text{ mm}^2/\text{m}$$

Use $\phi = 10$

Use for horizontal bare $\phi 10$ @ 20 cm in each side

Check for strain:

Tension = Compression

$$A_s * f_y = 0.85 * f_c' * b * a$$

$$1117 * 420 = 0.85 * 28 * 1000 * a$$

$$a = 23 \text{ mm}$$

$$c = \frac{a}{\beta_1} = \frac{23}{0.85} = 27 \text{ mm}$$

$$\varepsilon_s = \frac{150 - 27}{27} * 0.003 = 0.0266$$

$$\varepsilon_s = 0.0266 > 0.005 \rightarrow ok$$

→ Check for shear

$$\phi V_c = \frac{\phi}{6} \sqrt{f_c'} * b * d = \frac{0.75}{6} \sqrt{24} * 1000 * 266 * 10^{-3} = 162.9 \text{ KN}$$

$$0.5 \phi V_c = 0.5 * 162.9 = 81.45 \text{ KN}$$

$$\phi V_c > V_u > 0.5 \phi V_c$$

$$162.9 > 117.8 > 81.45$$

The thickness is enough

الفصل الخامس

5

النتائج والتوصيات

1-5 مقدمة.

2-5 النتائج.

3-5 التوصيات.

1-5 المقدمة:

في هذا المشروع تم الحصول على مخططات معمارية جاهزة للمدرسة المذكورة ذات التصميم المتميز والمبدع، بعد دراسة جميع المتطلبات تم إعداد المخططات المعمارية والمخططات الإنسانية الشاملة للبني المقترح بناءه في مدينة يطا.

وتم إعداد المخططات الإنسانية بشكل مفصل ودقيق وواضح لتسهيل عملية البناء، ويقدم هذا التقرير شرحًا لجميع خطوات التصميم المعماري والإنسانية للبني.

2-5 النتائج:

1. يجب على كل طالب أو مصمم إنساني أن يكون قادرًا على التصميم بشكل يدوي حتى يستطيع امتلاك الخبرة والمعرفة في استخدام البرامج التصميمية المحوسبة.
2. من العوامل التي يجب أخذها بعين الاعتبار، العوامل الطبيعية المحيطة بالبني وطبيعة الموقع وتأثير القوى الطبيعية على الموقع.
3. من أهم خطوات التصميم الإنساني، كيفية الربط بين العناصر الإنسانية المختلفة من خلال النظرة الشمولية للبني، ومن ثم تجزئة هذه العناصر لتصميمها بشكل منفرد ومعرفة كيفية التصميم، معأخذ الظروف المحيطة بالبني بعين الاعتبار.
4. لقد تم استخدام نظام عقادات (One-Way Ribbed Slab) في كثير من العقود نظرًا لطبيعة وشكل المنشأ ، ، كما تم استخدام نظام العقود المصمتة (Solid Slab) في مناطق بيت الدرج، نظرًا لكونها أكثر فاعلية من عقادات الأعصاب في تحمل ومقاومة الأحمال المركزية.
- 5 . برامج الحاسوب المستخدمة: هناك عدة برامج حاسوب تم استخدامها في مقدمة هذا المشروع وهي:
 - (a) AUTOCAD 2010 : و ذلك لعمل الرسومات المفصلة للعناصر الإنسانية.
 - (b) ATIR: للتصميم والتحليل الإنساني للعناصر الإنسانية.
 - (c) Microsoft Office: تم استخدامه في أجزاء مختلفة من المشروع مثل الكتابة النصوص والتنسيق وإخراج المشروع ، وإعداد الجداول المرافق للتصميم.
 - (d) Google SketchUp : تم لاظهار المعماري للواجهات المشروع.
 - (e) Safe: تم استخدامه في التحليل والتصميم الانشائي للأساسات المزدوجة والبلاطات .
 - (f) Etabs: تم استخدامه في التحليل والتصميم الانشائي لجداران القص .
 - (g) Stadd pro: تم استخدامه في التحليل والتصميم الانشائي لجداران وأرضية بئر الماء.
 - (h) Sp column: تم استخدامه في التحليل والتصميم الانشائي للأعمدة الخرسانية .
 - (i) Prokon: تم استخدامه في التحليل والتصميم الانشائي للجداران الاستنادية وجدران التسوية.

6. الأحمال الحية المستخدمة في هذا المشروع كانت من كود الأحمال الأردني.
7. من الصفات التي يجب أن يتتصف بها المصمم، صفة الحس الهندسي التي يقوم من خلالها بتجاوز أية مشكلة ممكн أن تعرضه في المشروع وبشكل مقنع ومدروس.

3-5 التوصيات:

لقد كان لهذا المشروع دور كبير في توسيع وتعزيز فهمنا لطبيعة المشاريع الإنسانية بكل ما فيها من تفاصيل وتحاليل وتصاميم. حيث نود هنا - من خلال هذه التجربة - أن نقدم مجموعة من التوصيات، نأمل بأن تعود بالفائدة والنصح لمن يخطط لاختيار مشاريع ذات طابع إنساني.

وفي البداية، يجب أن يتم تنسيق وتجهيز كافة المخططات المعمارية، بحيث يتم اختيار مواد البناء مع تحديد النظام الإنساني للبني. ولابد في هذه المرحلة من توفير معلومات شاملة عن الموقع وترتبه وقوته تحمل تربة الموقع، من خلال تقرير جيوفنقي خاص بذلك المنطقة، بعد ذلك يتم تحديد موقع الجدران الحاملة والأعمدة بالتوافق والتنسيق التام مع الفريق الهندسي المعماري. ويحاول المهندس الإنساني في هذه المرحلة الحصول على أكبر قدر ممكن من الجدران الخرسانية المسلحة، بحيث تكون موزعة بشكل منتظم أو شبه منتظم في كافة أنحاء المبني؛ ليتم استخدامها فيما بعد في مقاومة أحمال الزلازل وغيرها من القوى الأفقية.